

THEORY OF SPINNING DISK

**SPINNING DISK THEORY AND PROJECT
FLYING MACHINES (RESULTANT OF FORCE)
INTRODUCTION TO QUANTUM MECHANICS
FUSION OF HYDROGEN**

ENG: ESTEVAO MANZO CASTELLO

THEORY OF SPINNING DISK

1. SPINNIG EFFECT ONE.....	4
2. SPINNING EFFECT TWO.....	16
3. FLYING MACHINES OF RESULTANT OF FORCE.....	25
4. PROJECT.....	00
5. INTRODUCTION TO QUANTUM MECHANICS.....	30
6. FUSION OF HIDROGEN.....	47
7. APENDICES.....	58

Os textos do livro e figuras estão apresentados em linguagem mista, inglês e português para posterior tradução integral para o inglês.

As equações descobertas neste livro tentam explicar os heavy disk e spinning disk, quando falo sobre F_{cp} (centrípeta) e F_{cf} (centrifuga) podemos entender $F_{cp}=F_{cf}$, embora não esteja totalmente correta esta igualdade para todos os casos como citarei adiante(adição centrípeta-centrifuga à mecânica clássica),

Quando falo sobre massa virtual ou massa aparente tento explicar alterações inerciais usando a mecânica clássica, embora a teoria da precessão obtenha mesmos resultados numéricos, com o conceito de massa virtual e aparente, a facilidade de aplicação tornou-se grande e os resultados são rápidos.

Para as resultantes de força ascensionais darei o nome spinning effect one, para as alterações inerciais spinning effect two.

Seguindo adiante vamos desvendar um universo incrível de pensamentos como a fusão nuclear de hidrogenio, a $E=K.m^2.\infty$ os infinitos relativos e às potencias.

Segue uma palhinha:

$$F_z = m.\omega^2.R.\cotg(\theta), \quad m'' = m.g/(g+\omega^2R)$$

$$E = K.m^2.\infty$$

$$E = m.c^2$$

$$E = m.c^8$$

$$\infty^4 = \frac{c^n}{G.m^3}$$

$$E = m.c^{3,2}$$

$$E = 2.K'.m^2.\infty$$

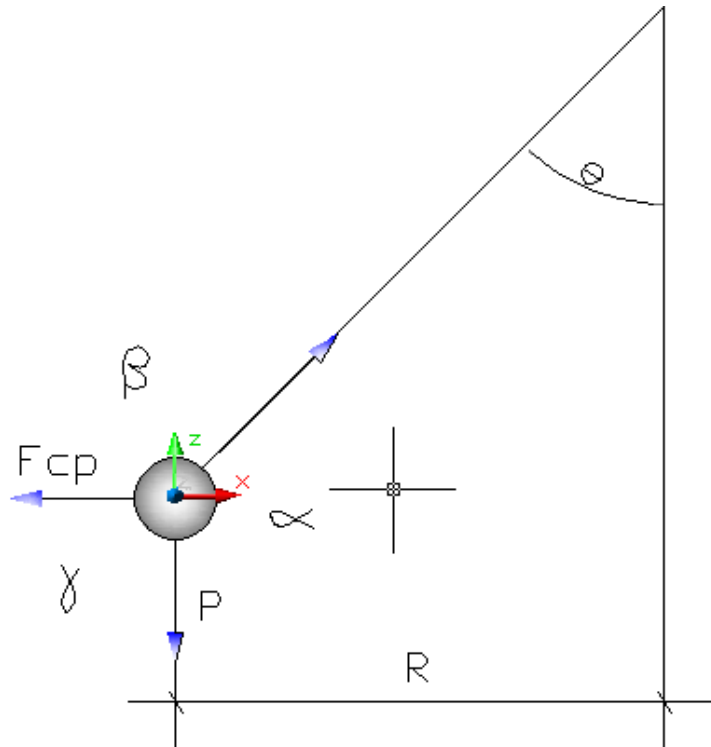
$$\infty^4 = \frac{c^n}{2.G.m^3}$$

$$E = m.c^7$$

SPINNING EFFECT ONE

Resultantes de força ascencionais ou spinning effect one.

Analogia da bola em transação:



$$\frac{F_{cp}}{\sin(\alpha)} = \frac{P}{\sin(\beta)} = \frac{F_y}{\sin(\gamma)}$$

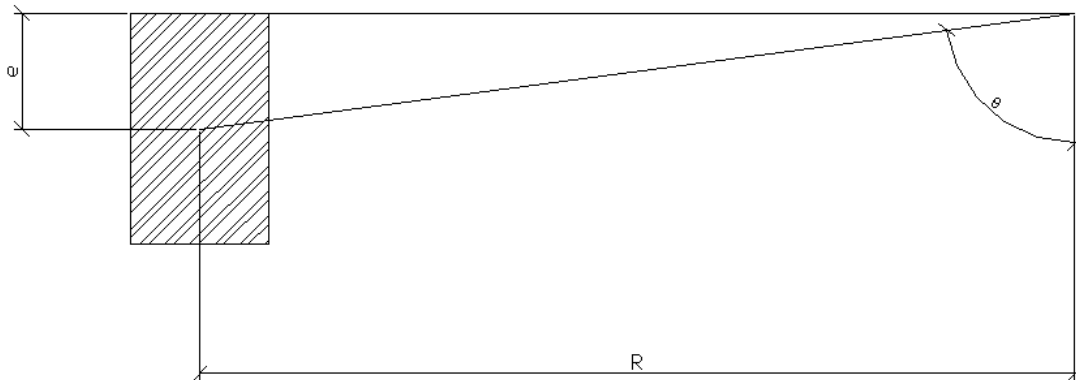
$$\frac{m.\omega^2.R}{\sin(\alpha)} = \frac{m.g}{\sin(\beta)} = \frac{F_y}{\cos(\theta)}$$

$$F_z = \frac{m.\omega^2.R.\cos(\theta)}{\sin(\alpha)} = \frac{m.\omega^2.R.\cos(\theta)}{\sin(180-\theta)} = m.\omega^2.R.\cotg(\theta)$$

$$F_z = \frac{m.g.\cos(\theta)}{\sin(\beta)} = \frac{m.g.\cos(\theta)}{\sin(90+\theta)} = m.g.\cotg(\theta)$$

$F_z = \frac{m.\omega^2.R}{\text{tg}(\theta)}$ → Representa forças ascencionais do movimento giroscópico observado na analogia bola em transação.

Analogia de disco em corte:



$$\cotg(\theta) = e/R$$

$$F_{cp} = m \cdot \omega^2 \cdot R$$

$$M_{fcp} = F_{cp} \cdot R \cdot \cotg(\theta)$$

$$F_y = M_{fcp} / R$$

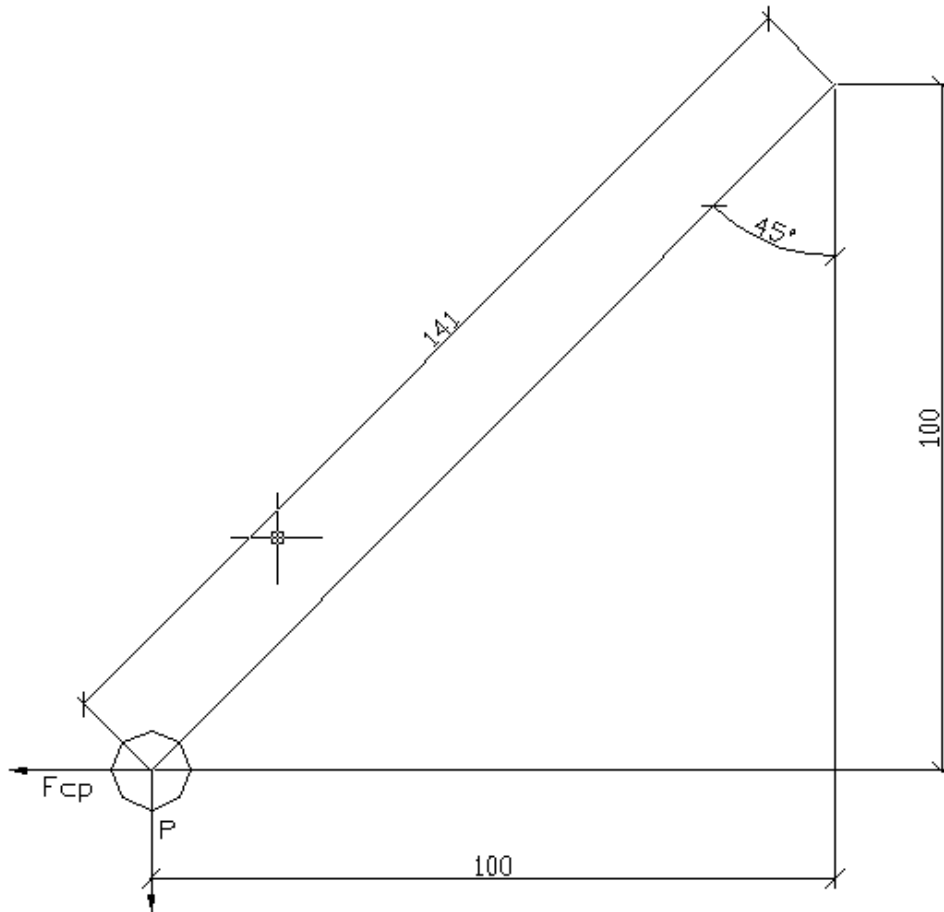
$$F_y = \frac{m \cdot \omega^2 \cdot R \cdot R \cdot \cotg(\theta)}{R}$$

$F_y = \frac{m \cdot \omega^2 \cdot R}{\tg(\theta)}$ → Observa-se a mesma força ascensional para o corte de de secção de disco com velocidade angular ω

com análise dimensional $[\text{kg} \cdot (\text{rad/s})^2 \cdot \text{m}] = [\text{N}]$

Observei as forças ascensionais e alterações inerciais no ano de 1998 na Universidade Presbiteriana Mackenzie cursando o 2 ano de Engenharia, nesta época só aviam pequenos relatos sobre OVNIS, objetos voadores não identificados, sem nenhum amparo científico.

Estudo numérico:



$P = m \cdot g = 1 \cdot 10 = 10 \text{ N}$

$F_{cp} = 10 \text{ N}$

$F_{cp} = m \cdot \omega^2 \cdot R \rightarrow 10 = 1 \cdot \omega^2 \cdot 1 \rightarrow \omega^2 = 10 \rightarrow \omega = 2 \cdot \pi \cdot \text{RPS}$

$F_y = \frac{m \cdot \omega^2 \cdot R}{\text{tg}(\theta)} = \frac{1 \cdot 10 \cdot 1}{1} = 10 \text{ N}$

$\therefore F_{res} = F_y - P = 10 - 10 = 0$ equilíbrio: quando atinge-se o ω de equilíbrio a força ascensional anula a força peso obtendo-se o equilíbrio em θ

Outras equações úteis:

$$F_{z_{eq.}} = G \cdot m_g \cdot m_e / x^2$$

Ou

$$F_{z_{eq.}} = G \cdot m_g \cdot 1,47 \cdot 10^{11} \text{ earth}$$

Ou simplesmente:

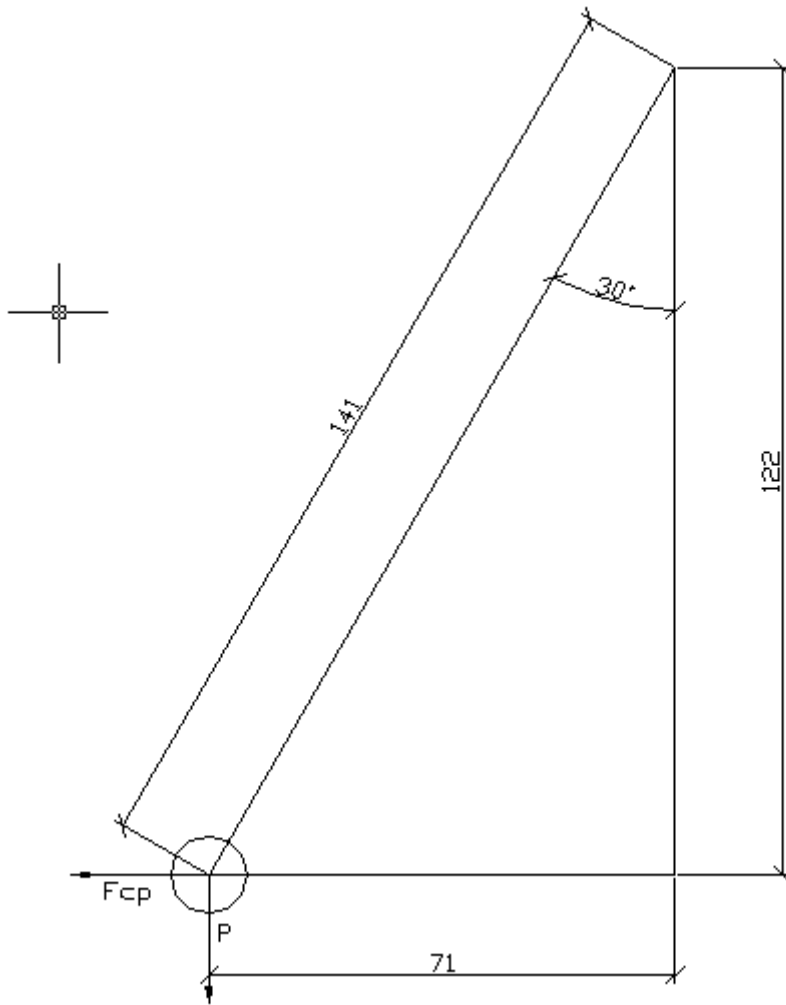
$$F_{z_{eq.}} = m_g \cdot g_{medido}$$

Estudo numérico:

$$F_z = G \cdot m_g \cdot 1,47 \cdot 10^{11} = 6,67 \cdot 10^{-11} \cdot 10 \cdot 1,47 \cdot 10^{11} = 98,05 \text{ N}$$

$$F_{z_{eq.}} = m_g \cdot g_{medido} = 10 \cdot 9,83 = 98,30 \text{ N}$$

$$F_z = \frac{m \cdot \omega^2 \cdot R}{\text{tg}(\theta)} = \frac{10 \cdot 10 \cdot 1}{1} = 100 \text{ N}$$



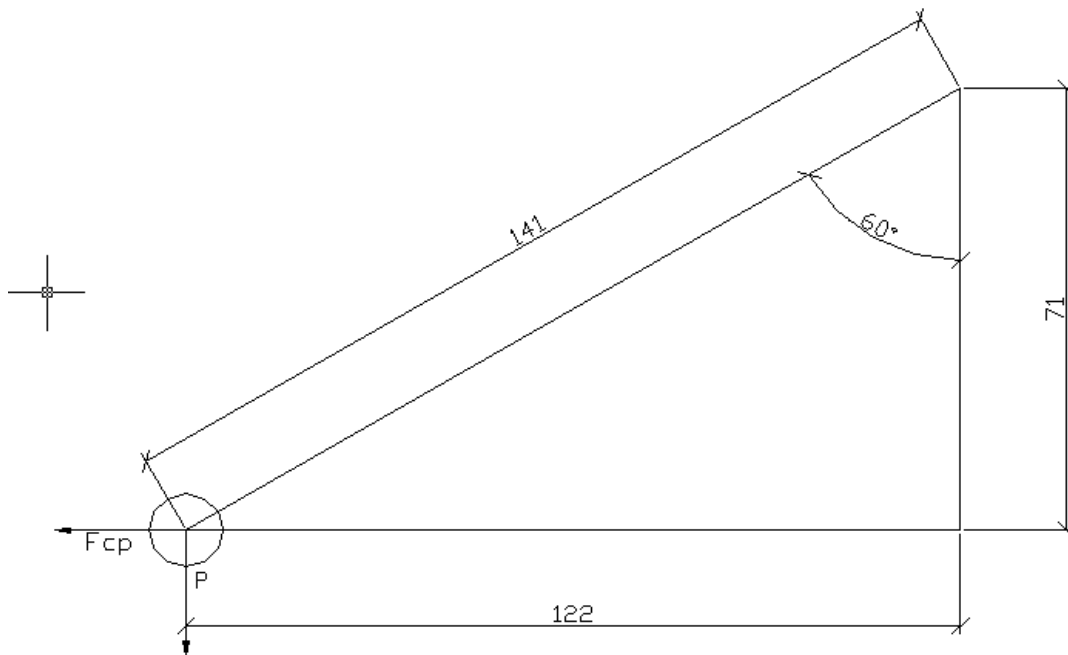
$$P = m \cdot g = 1 \cdot 10 = 10 \text{ N}$$

$$F_{cp} = m \cdot \omega^2 \cdot R \rightarrow F_{cp} = 1 \cdot \omega^2 \cdot 0,71 = 7,10 \text{ N}$$

$$F_y = \frac{m \cdot \omega^2 \cdot R}{\text{tg}(\theta)} = \frac{1 \cdot 10 \cdot 0,71}{0,57} = 12,21 \text{ N}$$

$$\therefore F_{res} = F_y - P = 12,21 - 10,00 = 2,21 \text{ N} \rightarrow \text{ascensão.}$$

Quando atinge-se ω maior que o de equilíbrio para o ângulo θ em questão, as forças ascensionais excedem a força peso e há tendência de alteração do ângulo θ , quando havendo restrição geométrica ou estática em θ ocorre resultante ascensional positiva, podendo ocorrer excedente à força peso do conjunto do spinning disk, resultando em ascensão do disco em y ou z.



$$P = m \cdot g = 1 \cdot 10 = 10 \text{ N}$$

$$F_{cp} = m \cdot \omega^2 \cdot R \rightarrow F_{cp} = 1 \cdot \omega^2 \cdot 1,22 = 12,2 \text{ N}$$

$$F_y = \frac{m \cdot \omega^2 \cdot R}{\text{tg}(\theta)} = \frac{1 \cdot 10 \cdot 1,22}{1,73} = 7,05 \text{ N}$$

$$\therefore F_{res} = F_y - P = 7,05 - 10,00 = -2,95 \text{ N} \rightarrow \text{queda.}$$

Quando ocorre ω menor que o de equilíbrio para o ângulo θ em questão ocorre força ascensional menor que a força peso, resultando em tendência à alteração de θ , havendo restrição física de θ ocorre força resultante em y ou z com direção paralela à força peso, esta condição pode ser expressa como alteração de altitude em direção ao pouso.

Calculo do (ω) de equilíbrio:

$$\omega = 2 \cdot \pi \cdot \text{RPS}$$

$$F_y = P$$

$$F_y = \frac{m \cdot \omega^2 \cdot R}{\text{tg}(\theta)} = \frac{1 \cdot \omega^2 \cdot 1}{1} = 10 \text{ N}$$

$$\omega^2 = 10$$

$$\omega = 3,16 \text{ rad/s}$$

Calculo do (θ) de equilíbrio:

$$F_y - P = 0$$

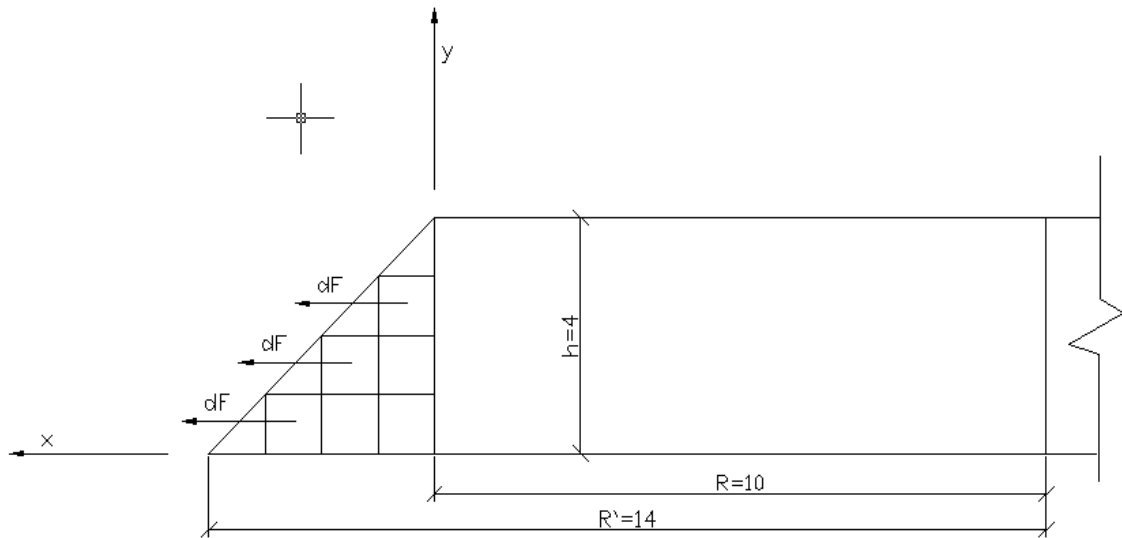
$$F_y = \frac{m \cdot \omega^2 \cdot R}{\text{tg}(\theta)}$$

$$\text{tg}(\theta) = \frac{m \cdot \omega^2 \cdot R}{F_y}$$

$$\text{Arctg} \frac{m \cdot \omega^2 \cdot R}{F_y} = \theta$$

$$\theta = 45^\circ$$

Calculo da Fcp:



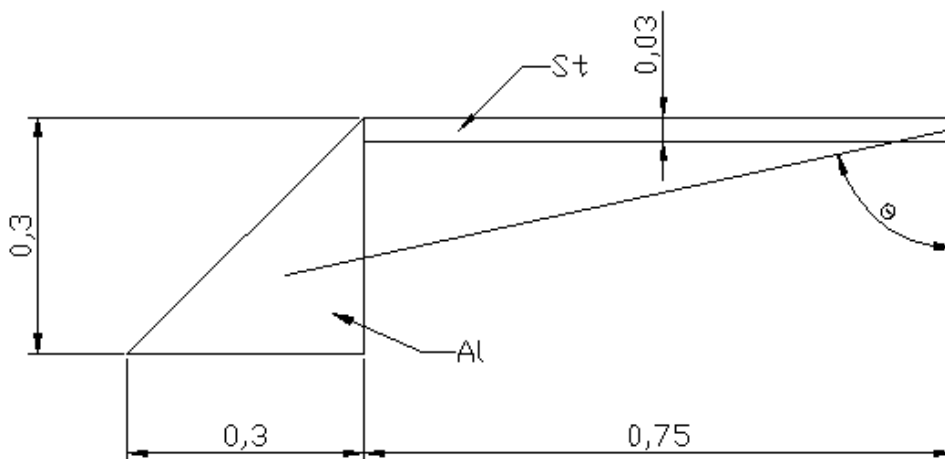
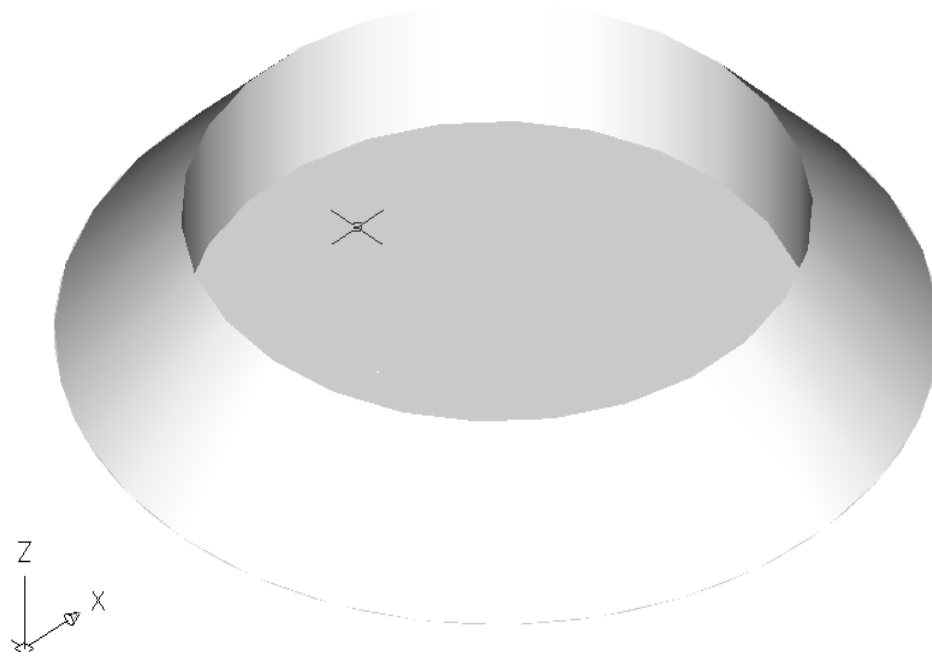
$$F_{cp} = \int_R^{R'} m \cdot \omega^2 \cdot R \cdot f(x) dR$$

$$F(x) = R' - R$$

$$F_{cp} = \int_R^{R'} m \cdot \omega^2 \cdot R \cdot (R' - R) dR$$

$$F_{cp} = \left[\frac{m \cdot \omega^2 \cdot R^2 \cdot R'}{2} - \frac{m \cdot \omega^2 \cdot R^3}{3} \right]$$

$$F_{cp} = 90 \cdot m \cdot \omega^2 \quad F_{cp} = 180 \cdot \pi \cdot \gamma \cdot \omega^2$$



Estudo numérico, Heavy Disk:

$$F_{cp} = m \cdot \omega^2 \cdot R$$

$$m = \frac{0,3 \cdot 0,3 \cdot 2}{2} \cdot \pi \cdot (0,75 + 0,3) \cdot \gamma_{al}$$

$$m = 0,24033 \cdot \gamma_{al} = 0,24033 \cdot 2710$$

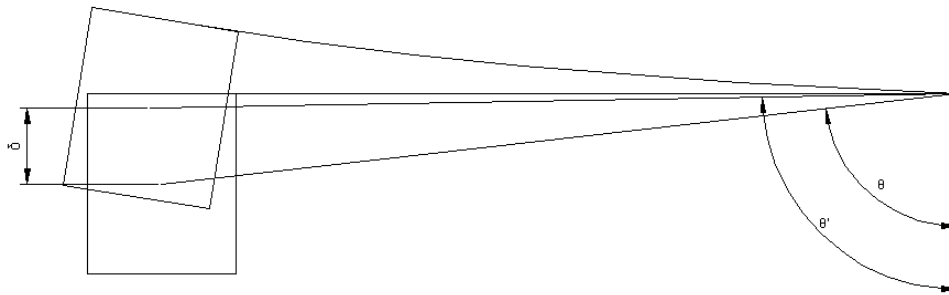
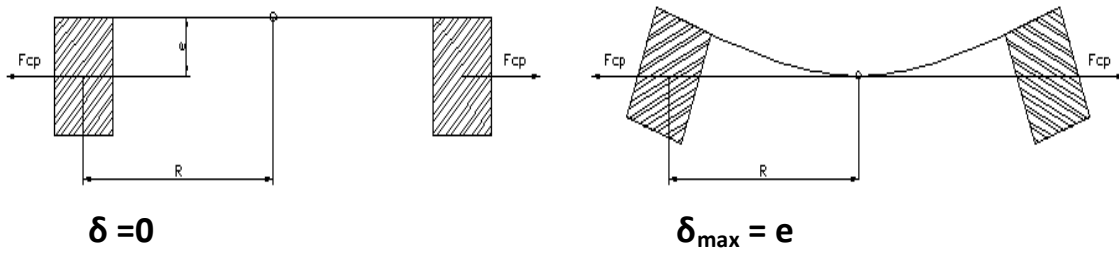
f/ aluminium $m = 651,3 \text{ kg}$

$$F_{cp} = m \cdot \omega^2 \cdot R = 651,3 \cdot 361,3^2 \cdot 0,85 \quad \omega = 361,3 \text{ rad/s} \quad 57,5 \text{ rps ou } 3450 \text{ rpm}$$

$$F_{cp} = 72,26 \text{ MN}$$

$$\sigma_s = F_{cp} / A_s = 72,26 / (0,03 \cdot 2 \cdot \pi \cdot 0,85) = 451 \text{ MPa}$$

Modelo Deformado:



$$F_{cp} = m \cdot \omega^2 \cdot R$$

$$M_{F_{cp}} = F_{cp} \cdot e = m \cdot \omega^2 \cdot R \cdot e$$

$$F_y = M_{F_{cp}} / R = m \cdot \omega^2 \cdot R \cdot e / R \quad e = R \cdot \cotg(\theta)$$

$$F_y = m \cdot \omega^2 \cdot R \cdot \cotg(\theta)$$

$$\delta = \frac{M \cdot L^2}{2 \cdot E \cdot I}$$

$$2 \cdot E \cdot I$$

$$\delta = \frac{M_{F_{cp}} \cdot R^2}{2 \cdot E \cdot I}$$

$$2 \cdot E \cdot I$$

$$\delta = \frac{F_{cp} \cdot e \cdot R^2}{2 \cdot E \cdot I}$$

$$2 \cdot E \cdot I$$

$$\delta = \frac{m \cdot \omega^2 \cdot R \cdot e \cdot R^2}{2 \cdot E \cdot I}$$

$$2 \cdot E \cdot I$$

$$\delta = \frac{m \cdot \omega^2 \cdot R^3 \cdot e}{2 \cdot E \cdot I}$$

$$2 \cdot E \cdot I$$

$$\delta = \frac{m \cdot \omega^2 \cdot R^4}{2 \cdot E \cdot I \cdot \tg(\theta)}$$

$$2 \cdot E \cdot I \cdot \tg(\theta)$$

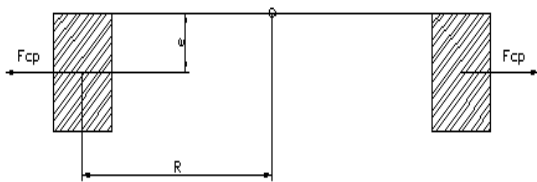
$$F_y' = M_{F_{cp}} / R = \delta \cdot 2 \cdot E \cdot I / R^3$$

$$F_y' = \frac{\delta \cdot 2 \cdot E \cdot I}{R^3}$$

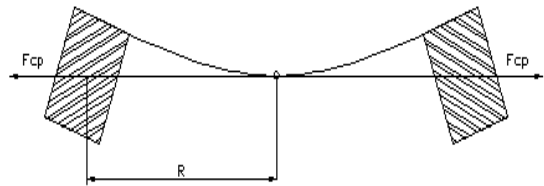
$$R^3$$

$$F_{y_{res}} = F_y + F_{y'}$$

$$F_{y_{res}} = \frac{m \cdot \omega^2 \cdot R}{\text{tg}(\theta')} + \frac{\delta \cdot 2 \cdot E \cdot I}{R^3}$$

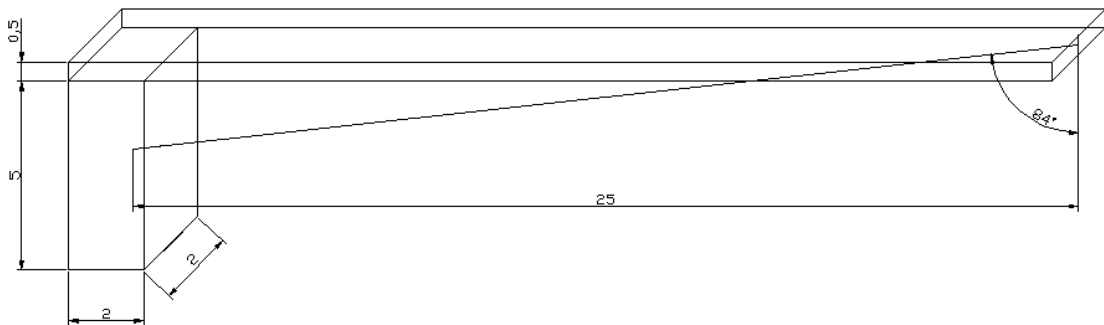


$$F_{y_{res}} = \frac{m \cdot \omega^2 \cdot R}{\text{tg}(\theta')} + 0$$



$$F_{y_{res}} = 0 + \frac{\delta \cdot 2 \cdot E \cdot I}{R^3}$$

Estudo numérico:



$$\delta = \frac{m \cdot \omega^2 \cdot R^4}{2 \cdot E \cdot I \cdot \text{tg}(\theta)}$$

$$m = 2 \cdot 2 \cdot 5 \cdot 7,85 = 0,157 \text{ kg}$$

$$\delta = \frac{0,157 \cdot 361,3^2 \cdot 0,25^4}{2,2 \cdot 08 \cdot 10^{-10} \cdot 210 \cdot 10^9 \cdot \text{tg}(83,7)}$$

$$\delta = 0,101\text{m}$$

$$\omega = 361,3$$

$$\delta = 0,006\text{m}$$

$$\omega = 361,3/4$$

$$F_{y_{res}} = \frac{m \cdot \omega^2 \cdot R}{\text{tg}(\theta')} + \frac{\delta \cdot 2 \cdot E \cdot I}{R^3}$$

$$F_{y_{res}} = \frac{0,157 \cdot 90,33^2 \cdot 0,25}{\text{tg}(84,4)} + \frac{0,006 \cdot 2 \cdot 210 \cdot 10^9 \cdot 2,08 \cdot 10^{-10}}{0,25^3}$$

Resultante na situação deformada:

$$F_{y_{res}} = 31,40 + 33,54$$

$$F_{y_{res}} = 64,94$$

Limitação de F_y devido a deformação:

$$F_{y_{defmax}} = \frac{0,0275 \cdot 2 \cdot 210 \cdot 10^9 \cdot 2,08 \cdot 10^{-10}}{0,25^3}$$

$$F_{y_{defmax}} = 153,75$$

Calculo do (ω_c) de colapso:

SPINNING EFFECT TWO

Alterações inerciais ou spinning effect two.

$$P = m \cdot g$$

$$P' = m \cdot g + m \cdot \omega^2 \cdot R$$

$$P' = m(g + \omega^2 \cdot R)$$

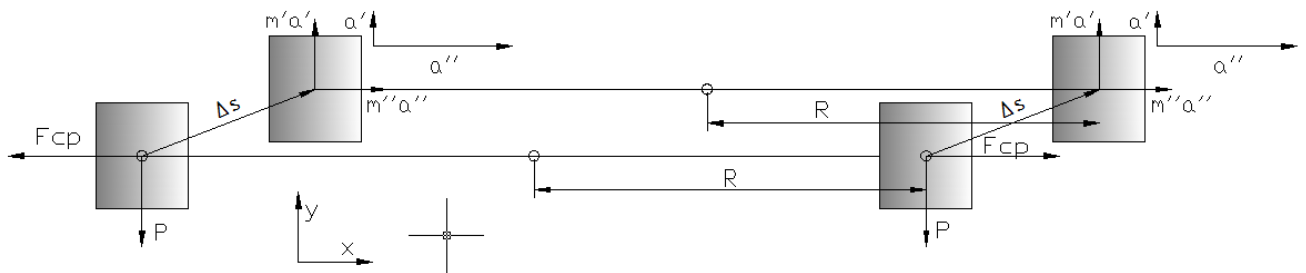
$$F = m \cdot a$$

$$m' = \frac{m \cdot (g + \omega^2 \cdot R)}{g} \quad [\text{kg}] \quad \text{Massa aparente ou virtual em y.}$$

$$m'' = \frac{m \cdot g}{(g + \omega^2 \cdot R)}. \quad [\text{kg}] \quad \text{Massa aparente ou virtual em x.}$$

$$m = \frac{m' \cdot m''}{m} \quad [\text{kg}] \quad \text{massa real.}$$

Observei o fenômeno de alteração inercial e formulação do conceito de massa virtual ou aparente e equações m' , m'' no ano de 1998 na universidade, deixei para adiante somente os devidos ensaios.



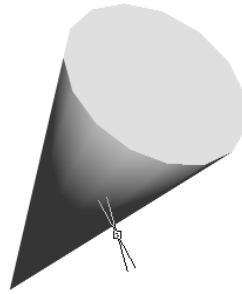
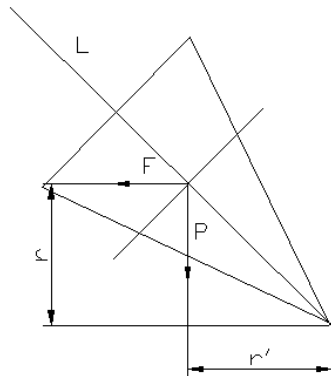
$$a = F/m$$

$$a' = F/m' \quad \text{aceleração em y}$$

$$a'' = F/m'' \quad \text{aceleração em x}$$

$$F = m' \cdot a' = m'' \cdot a''$$

Analogia do pião:



$$m_0 = m \cdot g \cdot r'$$

$$m_0 = m \cdot a \cdot r$$

$$m \cdot g \cdot r' = m \cdot a \cdot r$$

$$F = \frac{m \cdot g \cdot r'}{r}$$

$$F = m \cdot \frac{10 \cdot 2}{1} = 20 \text{ N}$$

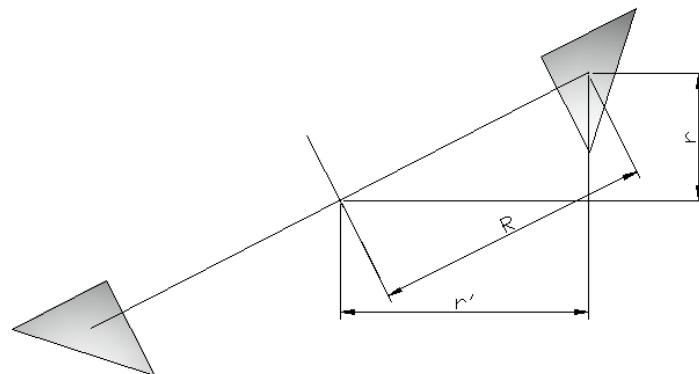
$$m' = 2 \cdot m$$

$$m \cdot a = \frac{m \cdot g \cdot r'}{r}$$

$$m' = \frac{m \cdot g \cdot r'}{a \cdot r}$$

$$m' = \frac{m \cdot 10 \cdot 2}{10 \cdot 1} = 2 \cdot m$$

$$m'' = \frac{m \cdot 10 \cdot 1}{10 \cdot 2} = 0,5 \cdot m$$



Da precessão vem:

$$\omega_p = \frac{m \cdot g \cdot r}{L}$$

$$F = \frac{\omega^2 \cdot I \cdot r'}{r^2}$$

$$\omega^2 = \frac{m \cdot g \cdot r}{I}$$

$$F = \frac{m \cdot g \cdot r \cdot I \cdot r'}{r^2}$$

$$F = \frac{m \cdot g \cdot r'}{r}$$

$$F = 20 \cdot m \text{ N}$$

$$m' = 2 \cdot m$$

$$F = \frac{m \cdot g \cdot r}{r'}$$

$$F = 5 \cdot m \text{ N}$$

$$m'' = 0,5 \cdot m$$

Pelo spinning effect two:

$$m' = \frac{m \cdot (g + \omega^2 \cdot R)}{g} \quad [\text{kg}] \quad \text{Massa aparente ou virtual em y.}$$

$$m' = \frac{m \cdot (10 + 10)}{10} = 2 \cdot m$$

$$m'' = \frac{m \cdot g}{(g + \omega^2 \cdot R)} \quad [\text{kg}] \quad \text{Massa aparente ou virtual em x.}$$

$$m'' = \frac{m \cdot 10}{(10 + 10)} = 0,5 \cdot m$$

A analogia do pião demonstra a compatibilidade numérica entre a mecânica clássica, a teoria da precessão e o spinning effect two, e mostra a facilidade de aplicação que decorre do último.

Duas equações para composição de alteração inercial quântica + efeito giroscópico.

$$m''_{res} = \frac{m \cdot g}{g + V_1^2/R_1 + V_2^2/R_2} \cdot$$

$$m''_{res} = \frac{m \cdot g}{g + (V_1/R_1 + V_2/R_2)^2 \cdot R_{m_{base10geom.esteviano}}}$$

$$M_{geo.base10.esteviana} = \left\{ \frac{x+y}{2} \right\} \cdot 10^{[(u+z)/2]}$$

O cálculo ficou mais perfeito com a criação da média geométrica base 10 esteviana anteriormente observada por nós em cálculo de densidades infinitas.

$$m''_{res} = \frac{1 \cdot 10}{10 + (10^7/10 + 1,6 \cdot 10^{20}/10^{-10})^2 \cdot 10^{-4,5}} = 1,23 \cdot 10^{-54,5}$$

Com $F=13f \rightarrow V=0$ a $V=\infty^2$ m/s em 1s discos com velocidade em potências de infinito.

EQUAÇÃO DE CÂMARAS PROPULSORAS

Aqui descrevo a equação de câmaras propulsoras que deduzi aos 16 anos no ano de 1992 Estevão Manzo Castello. Originalmente eram várias equações aqui mostro provavelmente a melhor.

$$\rightarrow F_p = \int \frac{2 \cdot m \cdot V}{2 \cdot x} dx$$

$$\rightarrow F_p = m \cdot V \cdot \ln(V \cdot \Delta t) \text{ (estevão propulsion camaras)}$$

$\Delta t = 10s$ (tempo de propulsão)
 $m = 1kg$ (material de propulsão)
 $V = 100 \text{ m/s}$ (velocidade linear de cada dm do material de propulsão)

$$\rightarrow F_p = m \cdot V \cdot \ln(V \cdot \Delta t)$$

$$\rightarrow F_p = 1 \cdot 100 \cdot \ln(100 \cdot 10) = 690N$$

$$E_c = m \cdot V^2 / 2 = 1 \cdot 100^2 / 2 = 5000J$$

$$E_c = F_p \cdot d \rightarrow 5000 = 690d \quad d = 7,2464$$

$$F_p = 100^2 / 2 \cdot 7,246$$

$$F_p = 690,03N = 690N$$

Aceleração e velocidade final:

$$a = F_p / m = 690 / 1 = 690 \text{ m/s}^2$$

$$V = 690 \cdot 10 = 6900 \text{ m/s} = \sim 25000 \text{ km/h}$$

Aplicando cone giroscópico e alteração inercial (estevão intraatomic inercia) Theory of spinning disk estevão:

alteração inercial+motor foguete+cone giroscópico $m'' = 3,71 \cdot 10^{-15} \cdot 2,28E-7 = 8,64 \cdot 10^{-22}$

$a = 690 / 8,64 \cdot 10^{-22} = 7,98 \cdot 10^{23}$ m/s

Disco+alteração inercial+motor foguete $m'' = 2,71E-17 \cdot 3,71E-15 = 1,00 \cdot 10^{-31}$

$a = 690 / 10^{-31} = 6,9 \cdot 10^{33}$ m/s velocidade infinita

CÉLULA ÁCIDA BY ESTEVÃO

CÉLULA DE HIDROGÊNIO BY ESTEVÃO

$H_2 - 2e \rightarrow 2H^+$ $-2,05 \text{ V}$ quântica $\rightarrow 34,3 \text{ V/mol}$

$O_2 + 2e \rightarrow 2O^{--}$ $+2,05 \text{ V}$ quântica $\rightarrow 34,3 \text{ V/mol}$

$Li + 2e$ $+12,0 \text{ V}$ (antigas tabelas)

$Au + 1e$ $-7,0 \text{ V}$ (antigas tabelas)

$Ni + 2e$ $+6,0 \text{ V}$ (antigas tabelas)

$Cd + 2e$ $-6,0 \text{ V}$ (antigas tabelas)

$Ni + Cd + H_2 + O_2$

$V = +6 + 2,05 + 6 + 2,05 = 16,1 \text{ V/placa}$

$Ni + Cd + H_2 + O_2$

$V = +7 + 2,05 + 12 + 2,05 = 23,1 \text{ V/placa}$ tinha tabelas antigamente.

10 placas $23,1 * 10 = 231 \text{ V}$

Facilmente associa-se 100 placas

$23,1 * 100 = 2310 \text{ V}$

Consequência carros elétricos e a H_2 .

Efetuei experimentos células de metano, gás natural e etileno estevao, muito eficientes.

QUANTICALY

d – e

u + e

$$V = Fq \cdot \Delta x / Q$$

$$Fq_{\max} = 1,26 \cdot 10^{17} \text{ N/g}$$

Forças intraatômicas interatômicas:					codigo de cores	
Eng: Estevão Manzo Castello					H2	entrada
calculando k lei de estevao?					H1	saída
Gm1m2/d2						calculo
	d=	5,40E-11 m	0,54	angstron		verificar
	m=	8,33333E-25				
		G	m1	m2	x2	Fg
		6,67E-11	8,33333E-25	8,33333E-25	2,916E-21	9,53075E-15
Kq1q2/d2						
	d=	5,40E-11 m				
	Q1=	0,33			fg/ftot=	4,51E+23
	Q2=	1,33				
		K	Q1	Q2	x2	Fq
		2,304E-28	1,333333333	1	2,916E-21	1,2642E+17
	calculado	4,63194E-59	1,333333333	1	2,916E-21	2,11794E-38
	eletron	2,304E-28	-1,0	1,3	1,36E-18	-2,26E-10
	eletron	4,63194E-59				
	kcalculado		-1,00	1,33	1,36E-18	-4,55E-41
						2,11E-38

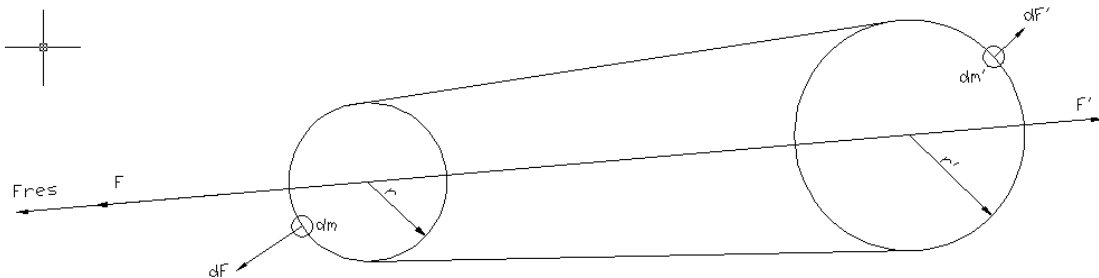
$$V = 1,26 \cdot 10^{17} \cdot 200 \cdot 10^{-10} / 6 \cdot 10^{23} \cdot 1,66 \cdot 10^{-19} \approx 10^5 \text{ Volt/g}$$

$$V \approx 500.000 \text{ V/g}$$

Placas de quarks up/down

THE RESULTANT OF FORCE

Analogia da motosserra:



$$dF_x = dF_{cp} \cdot \cos(\theta)$$

$$F_x = F_{cp} \cdot \cos(\theta)$$

$$F_x' = \int_0^{\pi} F_{cp} \cdot \cos(\theta) \cdot dF$$

$$\frac{F_x'}{2} = \int_0^{\pi/2} \int F_{cp} \cdot \cos(\theta) \cdot dF \cdot d\theta = \frac{dm^2 \cdot v^4}{2 \cdot R^2}$$

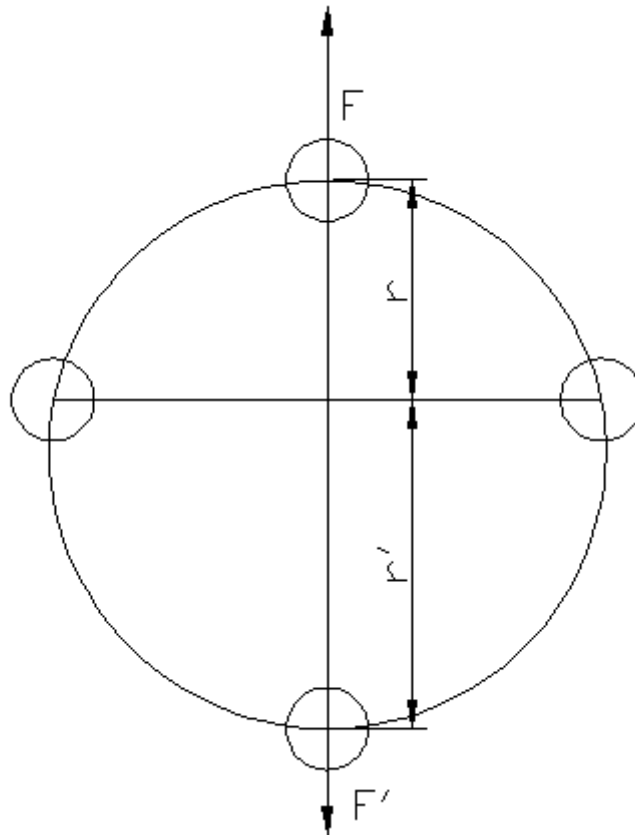
$$F_x = \frac{dm^2 \cdot v^4}{R^2}$$

Para \$r'=2\$ \$r=1\$ \$2 \cdot dm'\$ e \$1 \cdot dm\$

$$F_{res} = dm^2 \cdot v^4 \cdot \left[\frac{1}{1} - \frac{2}{2^2} \right] = dm^2 \cdot v^4 \cdot [0,5]$$

Na analogia da motosserra, observei a força resultante empiricamente, para posterior comprovação por cálculo diferencial.

Corda de força centrípeta variável:



$$\frac{F_x'}{2} = \int_0^{\pi/2} F_{cp} \cdot \cos(\theta) \cdot dF \cdot d\theta = \frac{dm^2 \cdot v^4}{2 \cdot R^2}$$

$$F_x = \frac{dm^2 \cdot v^4}{R^2} \quad \text{ou}$$

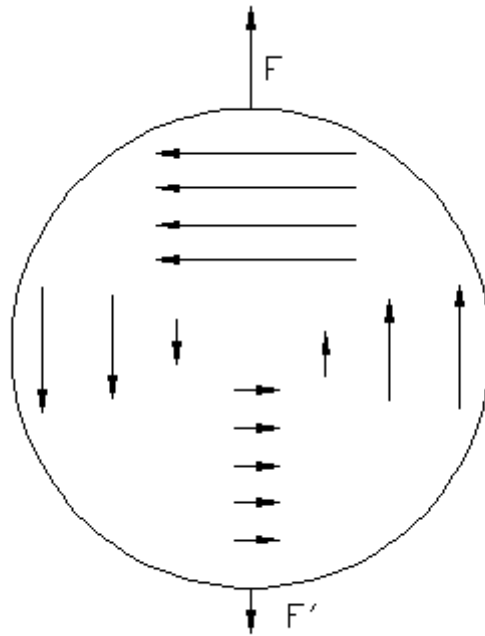
$$F = \frac{m \cdot v^2}{r} - \frac{m \cdot v^2}{r'} = m v^2 \cdot \frac{(1 \cdot r' - 1 \cdot r)}{r' \cdot r}$$

para $r'=2$ $r=1$

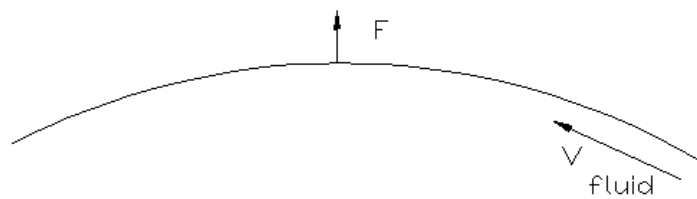
$$F = m v^2 (2-1)/2 = m v^2 (0,5)$$

MASS VELOCITY FLYING MACHINES

Campo vetorial de força rotacional com velocidade variável:



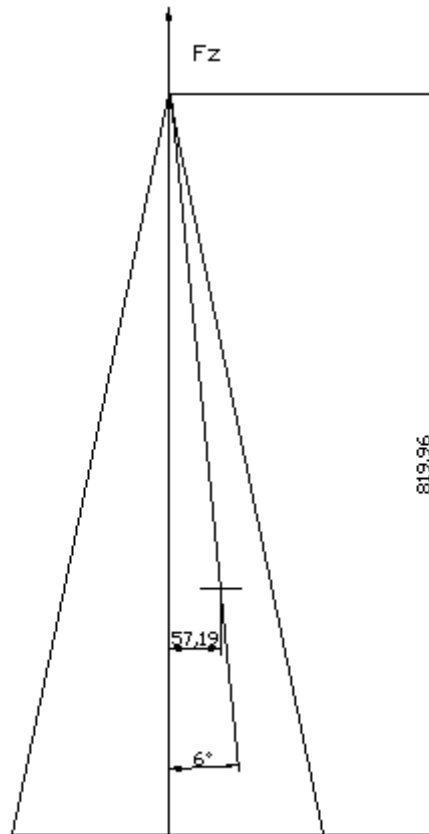
$$F_{res} = \int \frac{dmV^2}{r} - \int \frac{dmV'^2}{r}$$



$$F = \frac{dm \cdot V^2}{R}$$

Massa, velocidade e raio resultam em força MVX

Cone giroscópico(spinning rocket):



$m' = \frac{m \cdot (g + \omega^2 \cdot R)}{g}$ [kg] Massa aparente ou virtual em y.

$m' = \frac{100 \cdot (10 + 100 \cdot 0,572)}{10} = 672 \text{ kg}^{1/2}$

$m'' = \frac{m \cdot g}{(g + \omega^2 \cdot R)}$ [kg] Massa aparente ou virtual em x.

$m'' = \frac{100 \cdot 10}{(10 + 57,2)} = 15 \text{ kg}$

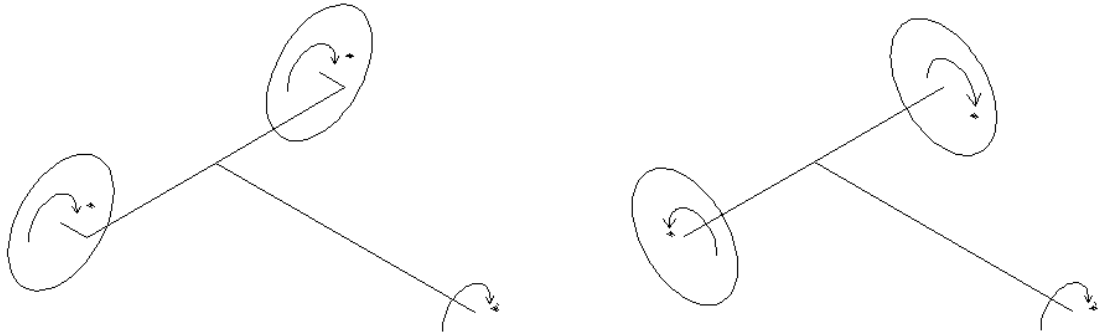
$m = \frac{m' \cdot m''}{m} = 672 \cdot 15 = 100 \text{ kg}$

$F_z = \frac{m \cdot \omega^2 \cdot R}{\text{tg}(\theta)} = \frac{100 \cdot 100 \cdot 0,572}{\text{tg} 6^\circ} = 54422 \text{ N}$

$F_{res} = F_y - P = 54422 - 1000 = 53422 \text{ N}$

$a'' = \frac{53422}{672} = 79,49 \text{ m/s}^2$

O cone giroscópico, inicialmente aparenta ser apenas mais uma idéia de flying machine de resultante de força, mas quando observado do ponto de vista de comportamento de alteração inercial, podemos imaginar alterações de estado de energia cinética e alterações de velocidade e aceleração bastante interessantes.



$$m''_{(\omega)} = \frac{m \cdot 10 \cdot 2}{(10 + 100 \cdot 1)} = 0,18 \cdot m \quad \omega = \omega' = 10$$

$$m''_{(\omega')} = \frac{0,18 \cdot m \cdot 10}{10 + 100} = 0,0165 \cdot m$$

$$E_c = \frac{mV^2}{2} = 0,0165 \cdot m \cdot \omega^2 \cdot R^2$$

Quando freia-se (ω), $\omega' = ?$ $E_{ci} = ?$ $E_{cf} = ?$

$$0,0165 \cdot m \cdot \omega'^2 \cdot R^2 = m \cdot \omega_2'^2 \cdot R'^2 \quad R = R' \text{ e considerand } E_c \text{ constante}$$

$$\omega_2'^2 = 0,0165 \cdot \omega^2 = 0,13 \cdot \omega = 1,27 \text{ rad/s deixo para posterior ensaio}$$

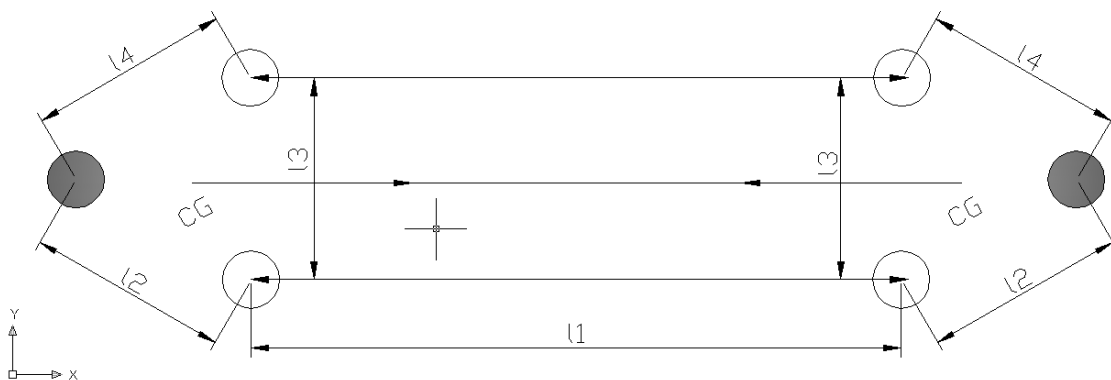
$$2 \cdot m \cdot \omega'^2 \cdot R^2 = m \cdot \omega_2'^2 \cdot R'^2 \quad R = R' \text{ e considerand } E_c \text{ variável e } V_{cte}$$

$\omega_2'^2 = 2 \cdot \omega^2 = 1,41 \cdot \omega = 14,1 \text{ rad/s deixo para posterior ensaio}$
gastei $E_c = 0,0165 \cdot m \cdot \omega^2 \cdot R^2 = 1,65 \text{ J}$ e obtive $E_c = 2 \cdot m \cdot \omega'^2 \cdot R^2 = 200 \text{ J}$ teoria do ganho de Energia mecânica. $E_{c(gasta)} = 1,65 \text{ J}$ $E_{c(obtida)} = 200 \text{ J}$
 $E_{co} = 121$ vezes a E_c gasta. Uma teoria de clonagem de Energia.

QUANTUM MECHANICS FOR SPINNING DISK

Posição de quarks up and down to nuclear fusion of H(modelo plano)

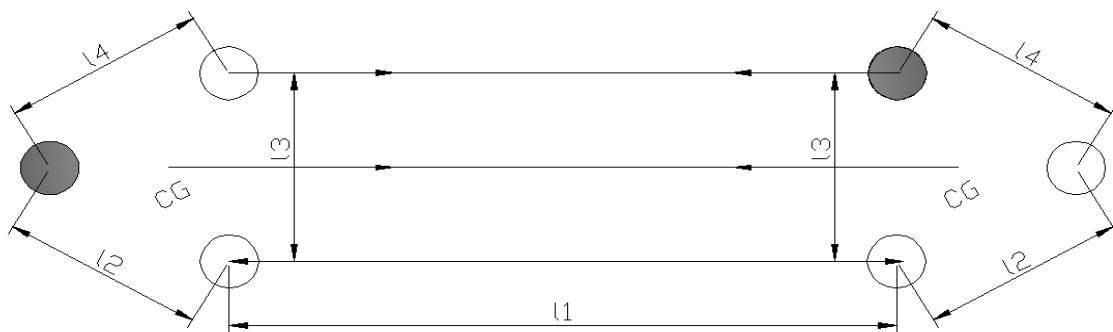
- quark up +2/3
- quark down -1/3



Provável equilíbrio H_2

Existindo distancia e posicionamento possível para gravity > repulsão
(Condições de temperatura e pressão)

$$E = m \cdot c^x \quad x < 3,2 \text{ (adotando-se solução notável } E = m \cdot c^{3,2} \text{ gravity)}$$

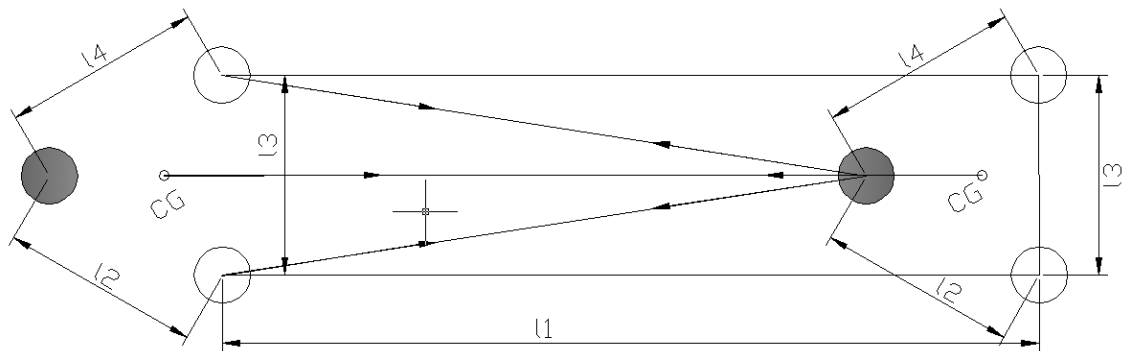


H_1 em fusão espontânea

Existindo distancia e posicionamento para atração + repulsão = 0 (cargas)

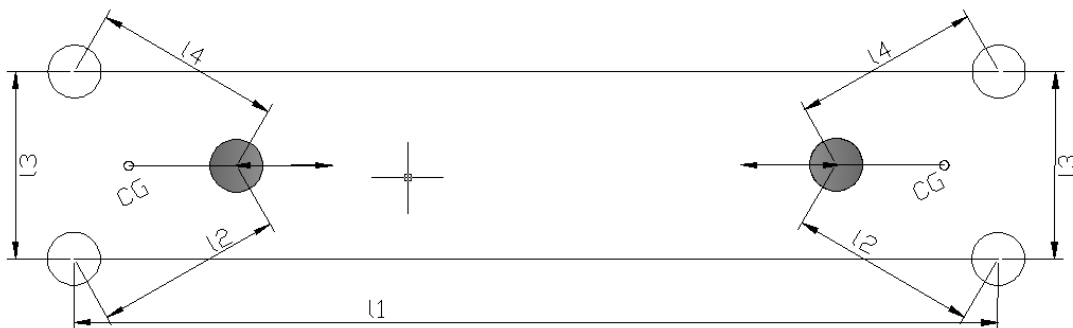
$$E = m \cdot c^{3,2} \text{ (adotando-se solução notável } E = m \cdot c^{3,2} \text{ gravity)}$$

- quark up +2/3
- quark down -1/3



H₁ em fusão espontânea.

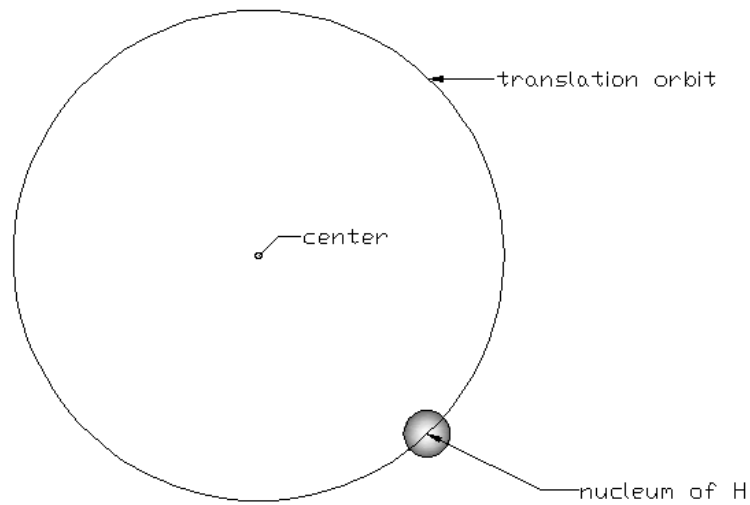
**Existindo distancia e posicionamento possível para atração > repulsão
 $E=m \cdot c^x \ x > 3,2$ (adotando-se solução notável $E=m \cdot c^{3,2}$ gravity)**



Provável equilíbrio H₂

**Existindo distancia e posicionamento para atração > repulsão
 $E=m \cdot c^x \ x < 3,2$ (adotando-se solução notável $E=m \cdot c^{3,2}$ gravity)**

Consequencias em nível nuclear:



Translação de orbita circular de um átomo de hidrogênio.

$$m' = \frac{m \cdot (g + \omega^2 \cdot R)}{g} \quad [\text{kg}] \quad \text{Massa aparente ou virtual em z.}$$

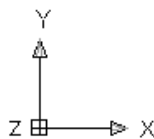
$$m'' = \frac{m \cdot g}{(g + \omega^2 \cdot R)} \quad [\text{kg}] \quad \text{Massa aparente ou virtual em x,y.}$$



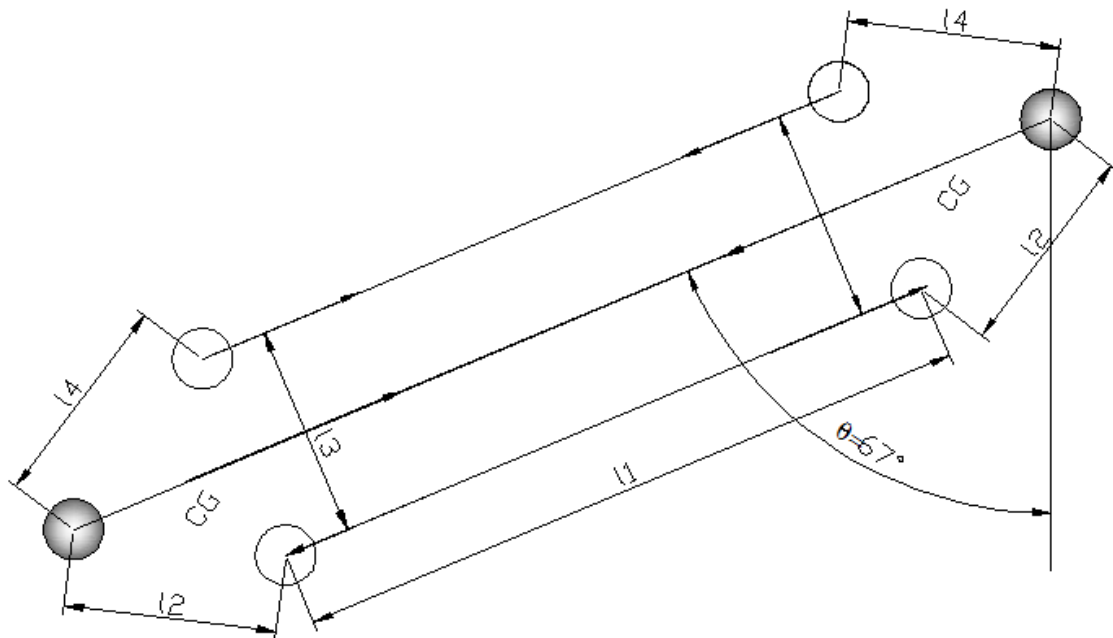
rotação de um átomo de hidrogênio.

$$m' = \frac{m \cdot (g + \omega^2 \cdot R)}{g} \quad [\text{kg}] \quad \text{Massa aparente ou virtual em z.}$$

$$m'' = \frac{m \cdot g}{(g + \omega^2 \cdot R)} \quad [\text{kg}] \quad \text{Massa aparente ou virtual em x,y.}$$



Consequencias em nível de partículas subatômicas(modelo plano):



rotação cônica de um átomo de hidrogênio.

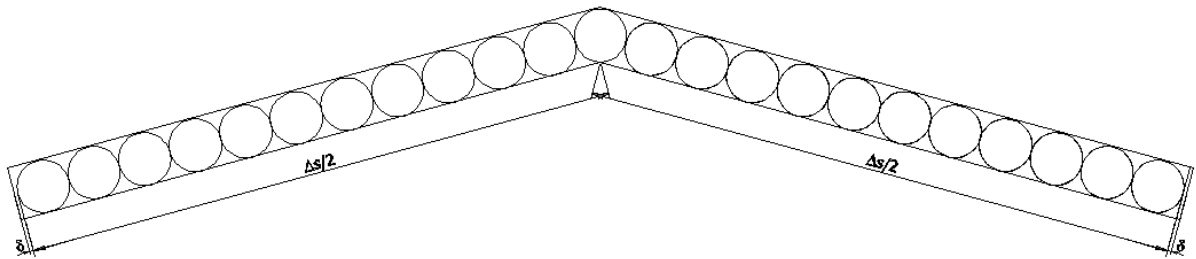
$$F_z = m \cdot \omega^2 \cdot R \cdot \cotg(\theta)$$

$$m' = \frac{m \cdot (g + \omega^2 \cdot R)}{g} \quad [\text{kg}] \quad \text{Massa aparente ou virtual em z.}$$

$$m'' = \frac{m \cdot g}{(g + \omega^2 \cdot R)} \quad [\text{kg}] \quad \text{Massa aparente ou virtual em x,y.}$$

Na rotação cônica observa-se F_z , alteração de m' e m'' como consequência poderíamos observar o transporte de flúidos como H_2O com economia de energia. Ou prever força ascensional F_z , anulação de força peso. Mais adiante explicação em células ascensionais.

Velocidade e alterações espaço tempo:



$$V = \lim_{\Delta s \rightarrow \infty} \frac{\Delta s}{\Delta t}$$

V = ∞ velocidade infinita em teoria.

$$V = \lim_{\Delta s \rightarrow \infty} \frac{\Delta s}{\Delta t}$$

$$V = \lim_{\Delta t \rightarrow 0} \frac{\Delta s}{\Delta t}$$

$$V = \lim_{\Delta s \rightarrow \infty} \frac{\Delta s}{\Delta t} = \infty \cdot \frac{1}{0} = \infty \cdot \infty = \infty^2$$

V = ∞.∞=∞² velocidade infinita ao quadrado.

Sobre a teoria infinitos relativos ver Fusão de hidrogênio.

A Primeira vez que observei os infinitos e potências de infinitos relativos foi nos originais que geraram esta página.

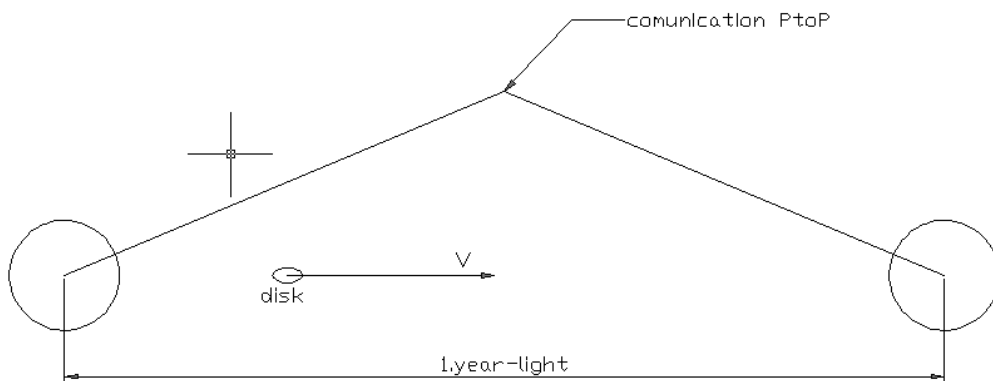
No fluxo de fótons Vm = c

V > c luz atinge past

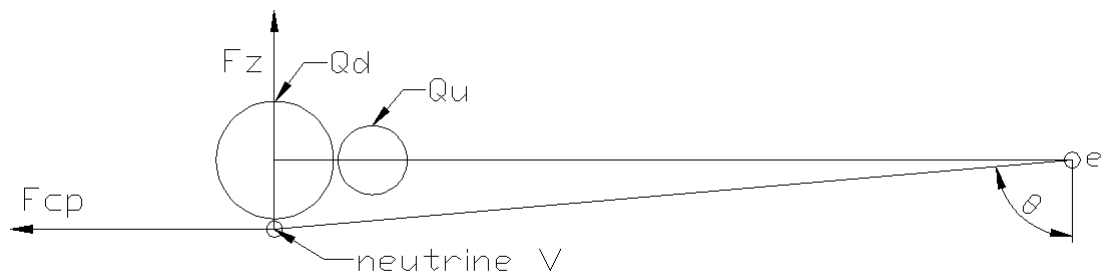
V < c luz atinge future

V=c luz atinge presente

O mesmo ocorre para o experimento abaixo planetas X,Y comunicação presente to presente distância 1 ano luz e V.



Indução Eletromagnética, Fz, Fcp em subpartículas nucleares:

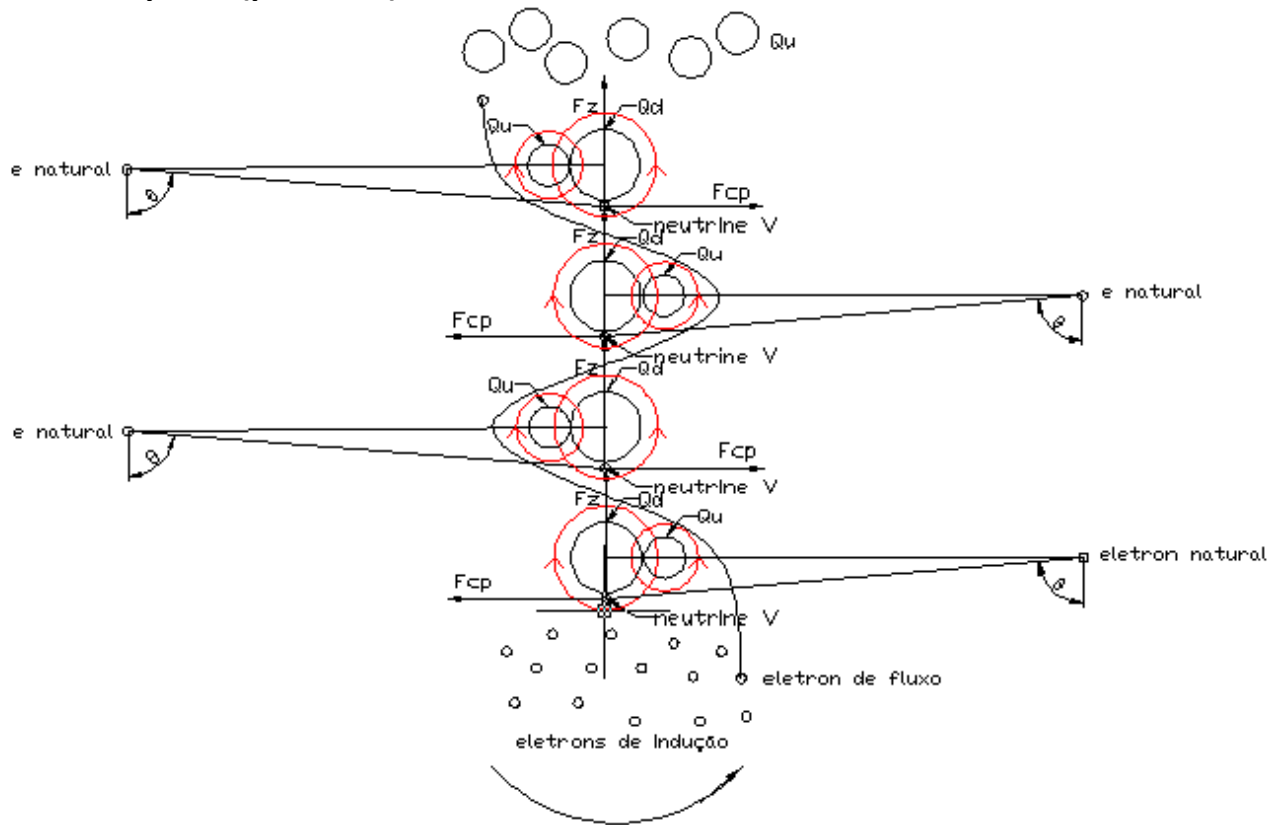


$$F_z = m \cdot \omega^2 \cdot R \cdot \text{tg}(\theta)$$

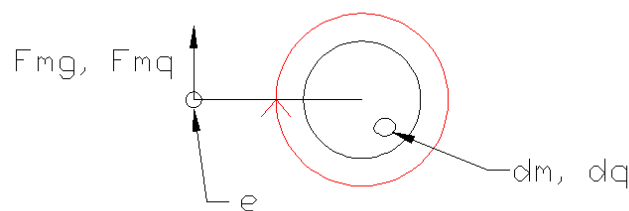
$$F_{cp} = m \cdot \omega^2 \cdot R$$

Indução eletromagnética é fluxo de neutrinos ou cargas neutras (teoria de assimetria) ou números ímpares de neutrinos.

celula de quarks(plano x,z):



A matéria tem F_y ou F_z naturais(F_{cp}, F_z, F_{mg}) em (ω) e (ω') , quando existindo correto posicionamento, ocorre ferromagnetismo ou ímas, ou adiante metais com alinhamento e posicionamento projetado, ou propriedades magnéticas de projeto.



Força do momento gravitacional(F_{mg}):

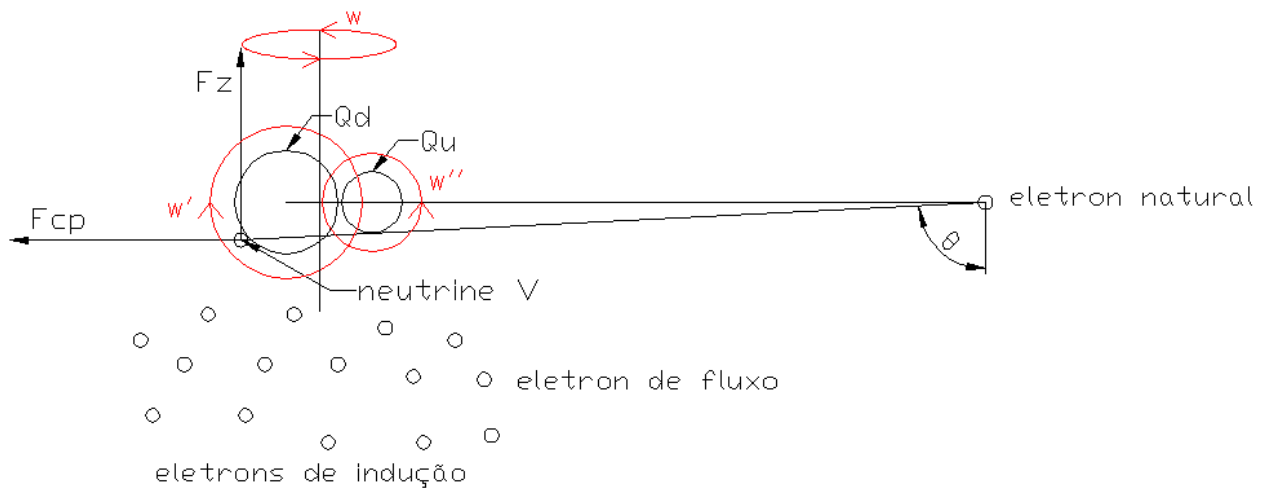
$$F_{mg} = \int_0^m Fg \cdot dm_2 \text{ ou } F_{mg} = \iint \frac{G \cdot m_1 \cdot m_2}{x^2} \cdot dm_1 \cdot dm_2 \text{ ou } F_{mg} = \iiint \frac{G \cdot m_1 \cdot m_2}{x^2} \cdot dm_1 \cdot dm_2 \cdot dx$$

Força do momento de atração de carga(F_{mq}):

$$F_{mq} = \int_0^m Fq \cdot dq_2 \text{ ou } F_{mq} = \iint \frac{k \cdot Q_1 \cdot Q_2}{x^2} \cdot dq_1 \cdot dq_2 = F_{mg} = \iiint \frac{G \cdot m_1 \cdot m_2}{x^2} \cdot dq_1 \cdot dq_2 \cdot dx$$

$$Fz = m \cdot \omega^2 \cdot R \cdot \cotg(\theta)$$

Com os conceitos de força do momento gravitacional, força do momento de atração de carga e Fz , força ascensional. comprovo a indução eletromagnética definitivamente. Deixo as forças F_{mg} , F_{mq} para posterior análise e ensaios.



$$F_{res} = F_{cp}(\omega) + F_z(\omega) + F_{mg}(\omega) + F_{mq}(\omega) + F_{cp}(\omega') + F_z(\omega') + F_{mg}(\omega') + F_{mq}(\omega') + F_{cp}(\omega'') + F_z(\omega'') + F_{mg}(\omega'') + F_{mq}(\omega'')$$

$$F_{res} = F_{cp}(\omega, \omega', \omega'') + F_z(\omega, \omega', \omega'') + F_{mg}(\omega, \omega', \omega'') + F_{mq}(\omega, \omega', \omega'')$$

$$\rightarrow \rightarrow \rightarrow \rightarrow \rightarrow$$

$$F_{res} = F_{cp}(\omega, \omega') + F_z(\omega, \omega') + F_{mg}(\omega, \omega', \omega'') + F_{mq}(\omega, \omega', \omega'')$$

$$\rightarrow \rightarrow \rightarrow \rightarrow$$

$$F_{res} = F_{cp}(\omega, \omega') + F_z(\omega, \omega') + F_{mg}(\omega, \omega', \omega'')$$

Representa a força resultante no neutrino V com:

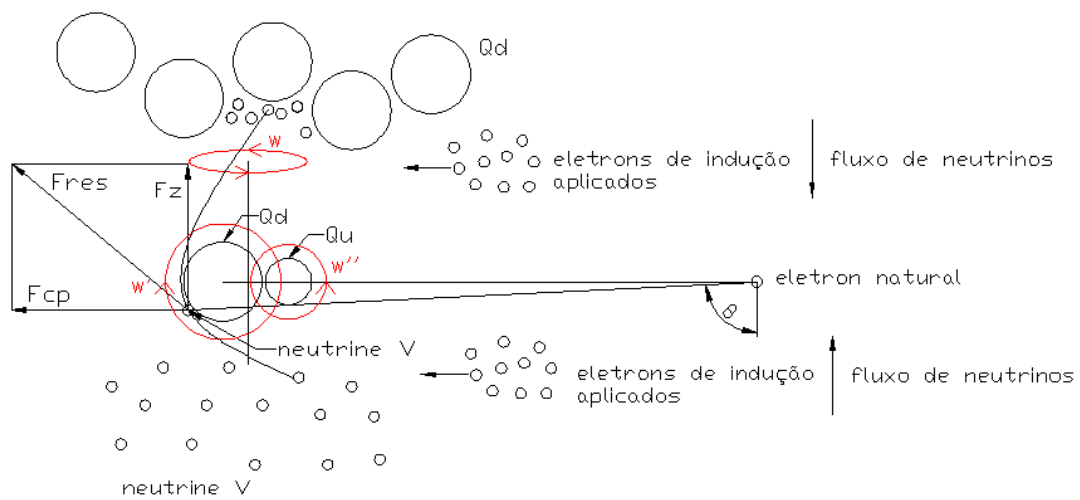
$$F_{cp} = m \cdot \omega^2 \cdot R$$

$$F_z = m \cdot \omega^2 \cdot R \cdot \cotg(\theta)$$

$$F_{mg} = \int_0^m Fg \cdot dm_2$$

$$F_{mq} = \int_0^m Fq \cdot dq_2$$

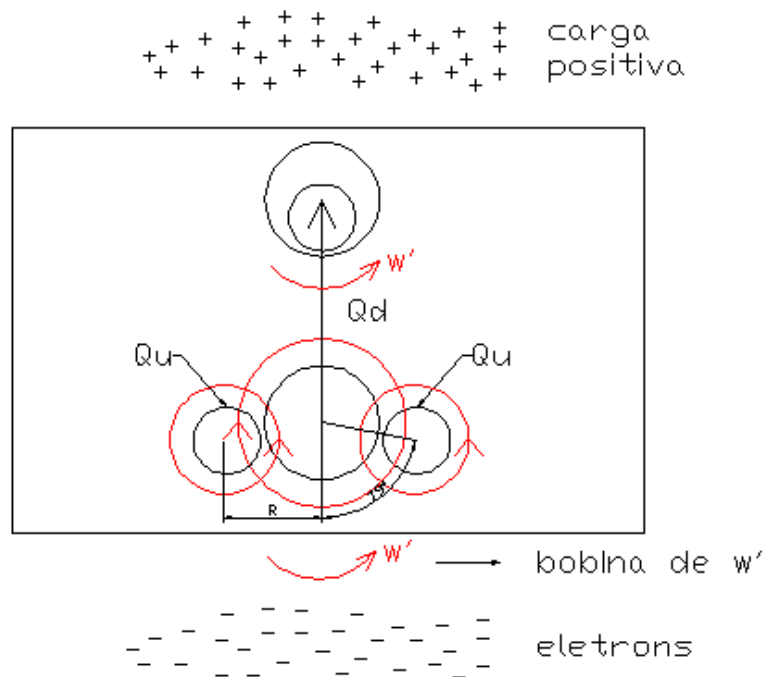
Teoria do fluxo puro de neutrinos
Celula de neutrinos(plano x,z):



$$\vec{F}_{res} = \vec{F}_{cp}(\omega, \omega') + \vec{F}_z(\omega, \omega') + \vec{F}_{mg}(\omega, \omega', \omega'') + \vec{F}_{mq}(\omega, \omega', \omega'')$$

$$\vec{F}_{res} = \vec{F}_{cp}(\omega, \omega') + \vec{F}_z(\omega, \omega') + \vec{F}_{mg}(\omega, \omega', \omega'')$$

Célula de força ascensional de H₂:



$$F = m \cdot \omega'^2 \cdot R \cdot \cotg(\theta) \quad m = \text{massa de } 4 \cdot Qd \quad G \cdot m_1 \cdot m_2 / d^2 + k \cdot Q_1 \cdot Q_2 / d^2 = m \cdot \omega'^2 \cdot R$$

Com soluções notáveis: por mol de H₂ ou 2g

$$F_z = 1,05 \cdot 10^1 \text{ N/tg}(\theta)$$

$$F_z = 7,37 \cdot 10^{14} \text{ N/tg}(\theta)$$

Quando rotacionada em 90° a célula ascensional torna-se célula de força. Assim, explico definitivamente a força horizontal em discos.

Consequencias da célula de força ascensional quando aplicada carga que altere o equilíbrio H₂ (houve descoberta teórica da eletrofusão neste dia):

Transformação H₂ em hélio (pode haver um tipo de explosão)

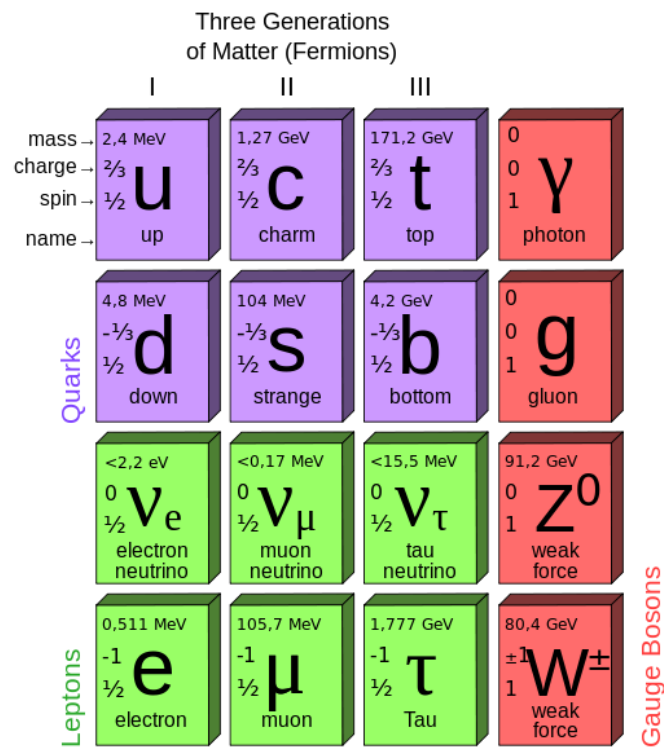
Eletrofusão a vácuo: Fe + Fe + Fe = platina, quando ocorrem saltos na tabela periódica inofensivos e em a vácuo, a eletrofusão parece inofensiva em termos de elementos instáveis.

Eletrofusão de metais em presença de H₂: Não recomendo a eletrofusão de metais embebidos em H₂ poderiam ocorrer saltos na tabela periódica para elementos instáveis como o Césio além de explosões.

Neste dia obtive apenas descoberta teórica da eletrofusão e idealização teórica da eletrofusão à vácuo.

Descobri neste dia uma tecnologia incrível que é a eletrofusão a vácuo que será provavelmente importantíssima no futuro da indústria, e aparentemente segura(não executei experimentosd e eletrofusão)

O ouro existena crosta terrestre em 1/100 em massa e envelhecido, quando resultado de fusão, é metal pesado e provavelmente “radioativo”!!!???



Divisão da materia pela mecânica quântica: Fermions, divididos em quarks, leptons e Bosons

Segue o que será a tabela periódica Esteviana(puramente geração1 de férmions):

Tabela periódica:

H hidrogênio $N_{\text{prótons}} = 1$ $N_{\text{neutrons}} = 0$ massa =1,008 u.m.a 99,2%ger 1

Tabela periódica(esteviana):

H hidrogênio $N_{\text{prótons}} = 1$ $N_{\text{neutrons}} = 0$ massa =1,000 u.m.a 100%ger 1

Tabela periódica:

O oxigênio $N_{\text{prótons}} = 8$ $N_{\text{neutrons}} = 6,4$ massa =16,0u.m.a 97%ger 1

Tabela periódica(esteviana):

O oxigênio $N_{\text{prótons}} = 8$ $N_{\text{neutrons}} = 6,0$ massa =15,5u.m.a 100%ger 1

Tabela periódica:

N nitrogênio $N_{\text{prótons}} = 7$ $N_{\text{neutrons}} = 5,6$ massa =14,0u.m.a 95%ger 1

Tabela periódica(esteviana):

N nitrogênio $N_{\text{prótons}} = 7$ $N_{\text{neutrons}} = 5,0$ massa =13,25u.m.a 100%ger1

Tabela periódica:

P fósforo $N_{\text{prótons}} = 16$ $N_{\text{neutrons}} = 12$ massa =31,0u.m.a 100%ger1

Tabela periódica(esteviana):fósforo era originalmente 100% ger1

P fósforo $N_{\text{prótons}} = 16$ $N_{\text{neutrons}} = 12$ massa =31,0u.m.a 100%ger1

Tabela periódica:

K potássio $N_{\text{prótons}} = 19$ $N_{\text{neutrons}} = 16,08$ massa =39,1u.m.a 99,7%ger1

Tabela periódica(esteviana):

K potássio $N_{\text{prótons}} = 19$ $N_{\text{neutrons}} = 16,00$ massa =39,0u.m.a 100%ger1

Tabela periódica:

Ca cálcio $N_{\text{prótons}} = 20$ $N_{\text{neutrons}} = 16,08$ massa =40,1u.m.a 99,7%ger1

Tabela periódica(esteviana):

Ca cálcio $N_{\text{prótons}} = 20$ $N_{\text{neutrons}} = 16,00$ massa =40,0u.m.a 100%ger1

Tabela periódica:

Na sódio $N_{\text{prótons}} = 11$ $N_{\text{neutrons}} = 9,6$ massa =23,0u.m.a 97%ger1

Tabela periódica(esteviana):

Na sódio $N_{\text{prótons}} = 11$ $N_{\text{neutrons}} = 9,0$ massa =22,25u.m.a 100%ger1

Tabela periódica:

Fe ferro $N_{\text{prótons}} = 26$ $N_{\text{neutrons}} = 23,84$ massa =55,8u.m.a 98%ger1

Tabela periódica(esteviana):

Fe ferro $N_{\text{prótons}} = 26$ $N_{\text{neutrons}} = 23$ massa =54,75u.m.a 100%ger1

Tabela periódica:

Cl cloro $N_{\text{prótons}} = 17$ $N_{\text{neutrons}} = 14,8$ massa =35,5u.m.a 97%ger1

Tabela periódica(esteviana):

Cl cloro $N_{\text{prótons}} = 17$ $N_{\text{neutrons}} = 14$ massa =34,5u.m.a 100%ger1

Tabela periódica:

C carbon $N_{\text{prótons}} = 6$ $N_{\text{neutrons}} = 4,8$ massa =12u.m.a 94%ger1

Tabela periódica(esteviana):

Cl carbon $N_{\text{prótons}} = 6$ $N_{\text{neutrons}} = 4$ massa =11u.m.a 100%ger1

Tabela periódica:

Mg magnésio $N_{\text{prótons}} = 12$ $N_{\text{neutrons}} = 9,84$ massa =12u.m.a 96%ger1

Tabela periódica(esteviana):

Mg magnésio $N_{\text{prótons}} = 12$ $N_{\text{neutrons}} = 9,0$ massa =23,25u.m.a 100%ger1

A matéria earthiana encontrava-se levemente alterada em massa em alguns elementos e com número de nêutrons fracionário(prováveis férmions ger2 e ger3).

Nêutron (2d+1u) $m=1,25u.m.a$ $q=+-1/\infty$

Próton (2u+1d) $m=1,00u.m.a$ $q=+1$ (resultante) $q=+1,33$,
 $q=-0,33$ (up 1,2 distanciados do down 3)

Tabela periódica:

Ag 99,1% gen1

Au 99,7% gen1

O ouro(Au) apesar de número de prótions 79 apresenta maior percentual de ger1 que a prata (Ag) (portanto Au mais salúbre que Ag).
Influência de cargas neutras(neutral charge):

Equação influencias cargas neutras:

$$F_{q_0} = \frac{k \cdot (1) \cdot (1,6 \cdot 10^{-19})}{\infty \cdot x^2}$$

Com k e ∞ a ser determinado ou fixa-se k e determina-se ∞

$$F_{q_0} = \frac{9 \cdot 10^9 \cdot 1 \cdot 1,6 \cdot 10^{-19}}{1,49 \cdot 10^{30} \cdot (0,01 \cdot 10^{-10})^2} = 9,66 \cdot 10^{-16}$$

$$F_q = \frac{9 \cdot 10^9 \cdot 1 \cdot 1 \cdot (1,6 \cdot 10^{-19})^2}{(100 \cdot 10^{-10})^2} = 2,30 \cdot 10^{-12}$$

Influencia de cargas neutras neutrino, proton ou e-. $F_{q_0} = 9,66 \cdot 10^{-18}$
 Fq de prótion a eletron: $F_q = 2,30 \cdot 10^{-12}$

2379 eltron neutrinos equivalem a força de carga de 1proton +1eletron nas condições descritas nas equações acima.

Lembra-se eletron neutrino "grudado" no prótion ou eletron dá carga resultante +-1 $F_{q_0} = 0$ e "desgruda".

Carga resultante/carga localizada:

u+u+d localizadas $+2/3 +2/3 -1/3$

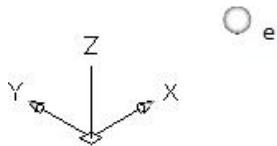
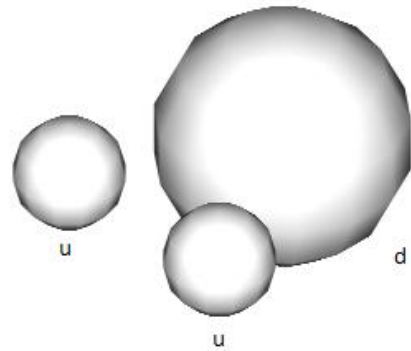
u+u+d resultante $4/3 -1/3 = +1$

Equação neutral charge:

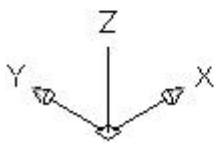
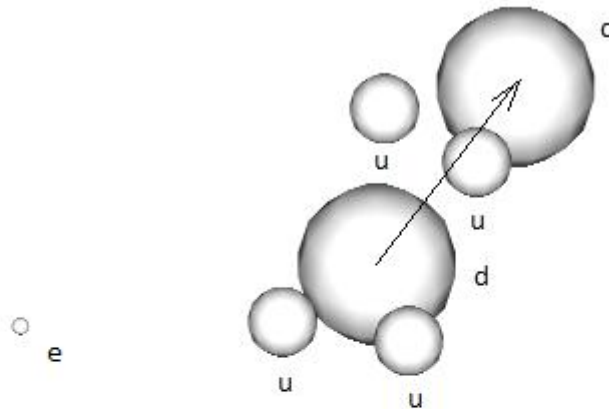
$$F_{q_0} = \frac{k \cdot (1) \cdot (1,6 \cdot 10^{-19})}{\infty \cdot x^2}$$

Com k e ∞ a ser determinado ou fixa-se k e determina-se ∞

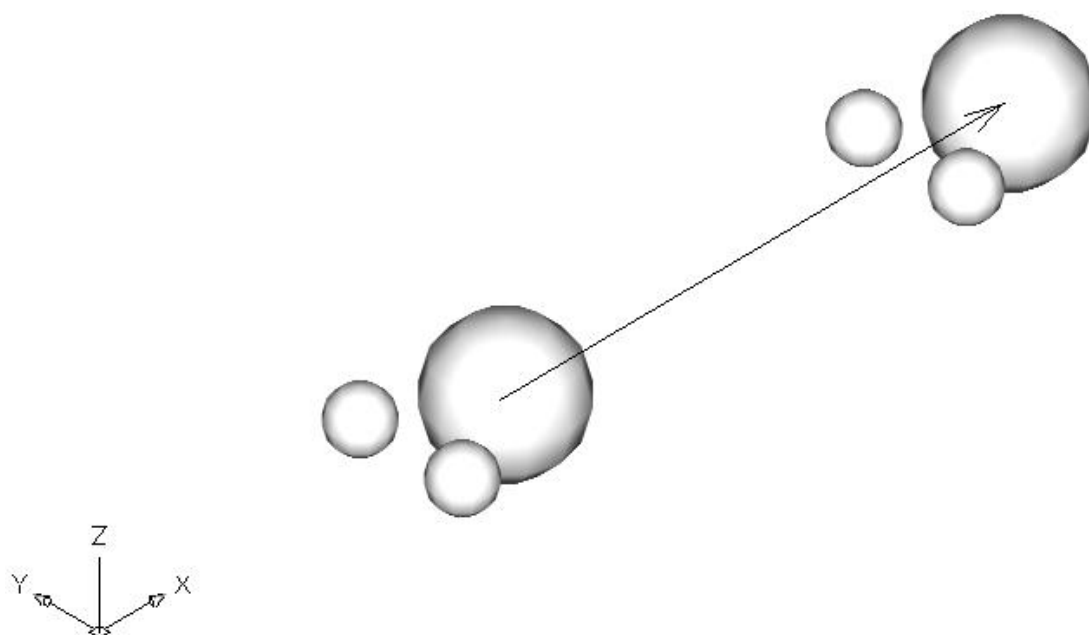
PROVAVEL EQUILÍBRIO H_1 NO ESPAÇO(X,Y,Z)



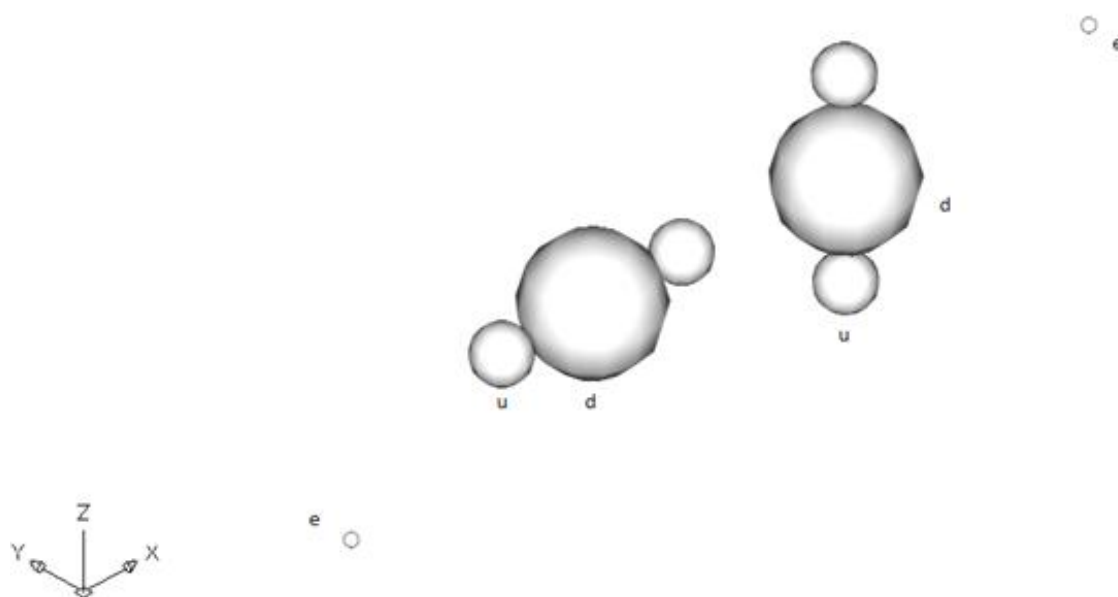
PROVAVEL FUSÃO H_1 NO ESPAÇO(X,Y,Z)



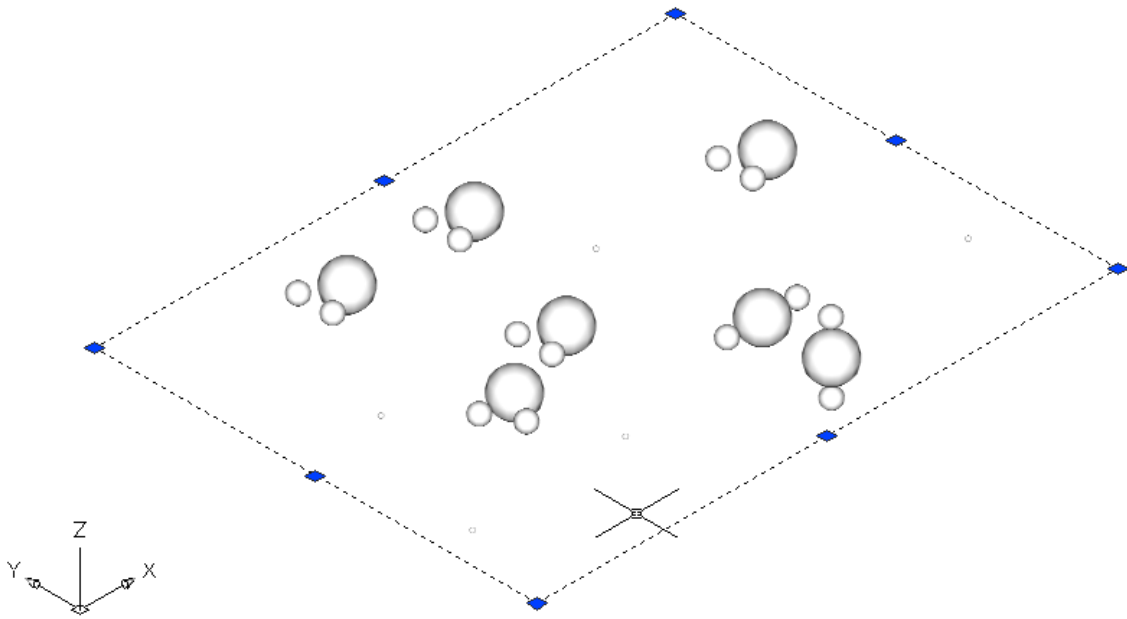
PROVAVEL FUSÃO H⁺ NO ESPAÇO(X,Y,Z)



PROVAVEL EQUILÍBRIO H₂ NO ESPAÇO(X,Y,Z)



Representação no plano π dos equilíbrios e fusões do H.



FUSION OF HIDROGEN

$$E=k.m^2.\infty$$

$$E=2.k'.m^2.\infty$$

$$E=4.k''.m^2.\infty$$

A $E=K.m^2.\infty$ como equação geral da fusão, fissão de núcleos atômicos.

$$E = \lim_{x \rightarrow 0} \frac{k.m^2}{x} = k.m^2.\infty$$

$$E = \int \frac{k.m^2}{x} . dx = k.m^2 \int_{\infty}^0 \frac{1}{x} . dx = k.m^2.\infty$$

Estudo dos limites tendendo ao infinito:

$$\lim_{x \rightarrow 0} \frac{1}{x} = \frac{1}{0} = \infty$$

$$\lim_{x \rightarrow 0} \frac{1}{x^2} = \frac{1}{0^2} = \infty^2$$

$$\lim_{x \rightarrow 0} \frac{1}{x^3} = \frac{1}{0^3} = \infty^3$$

$$\lim_{x \rightarrow 0} \frac{1}{x^4} = \frac{1}{0^4} = \infty^4$$

$$k = \lim_{x \rightarrow 0} G.m_1.m_2.\frac{1}{x^3} = G.m_1.m_2.\infty^3$$

Estudo dos limites tendendo a zero relativo:

$$\lim_{x \rightarrow \infty} \frac{1}{x} = \frac{1}{\infty} = 0_{\text{rel}}$$

$$\lim_{x \rightarrow \infty} \frac{1}{x^2} = \frac{1}{\infty^2} = 0_{\text{rel}}^2$$

$$\lim_{x \rightarrow \infty} \frac{1}{x^3} = \frac{1}{\infty^3} = 0_{\text{rel}}^3$$

$$\lim_{x \rightarrow \infty} \frac{1}{x^4} = \frac{1}{\infty^4} = 0_{\text{rel}}^4$$

zeros relativos:

massa do eletron(física): $9,11 \cdot 10^{-31}$ kg

massa do eletron neutrino(férmions): $3,82 \cdot 10^{-31}$ kg

$1/\infty_{\text{ver}} = 0_{\text{rel.ver.}}$ $6,71 \cdot 10^{-31}$

$1/\infty_{\text{ver}} = 0_{\text{rel.ver.}}$ $4,50 \cdot 10^{-61}$

$1/\infty_{\text{ver}} = 0_{\text{rel.ver.}}$ $3,02 \cdot 10^{-91}$

$1/\infty_{\text{ver}} = 0_{\text{rel.ver.}}$ $2,03 \cdot 10^{-121}$

Estudo dos infinitos relativos:

Infinitos relativos mínimos:

Pássaros $\infty=5$

Mamíferos $\infty=20$

Humanos $\infty=10^{16}$

Que satisfazem a $k.m^2 \cdot \infty$ $\infty=10^{27}$ a $\infty=10^{441}$

Calculadora científica $\infty=10^{500}$

Computador $\infty=10^{300}$

Delfi(programmin) $\infty=10^{500}$

Infinito verdadeiro($km^2\infty$)kg $\infty=1,4854 \cdot 10^{30}$

Solução mais correta matematicamente todas as eq. de energia em kg e infinito em kg.(atração+repulsão=0)

Soluções notáveis às $E=k.m^2 \cdot \infty$ (gravity) em fusão nuclear:

$$E=k.m^2 \cdot \infty$$

$$k=G.m_1.m_2 \cdot \infty^3$$

$$E=G.m^2 \cdot \infty^3 \cdot m^2 \cdot \infty$$

$$E=G.m^4 \cdot \infty^4$$

$$\frac{c^x}{m \cdot \infty} = G.m^2 \cdot \infty^3$$

$$\infty^4 = \frac{c^x}{G.m^3}$$

$$m \cdot c^x = G.m^4 \cdot \infty^4$$

$$c^x = G.m^3 \cdot \infty^4$$

$$c^x = G.m^3 \cdot \frac{(c^x)^4}{(k.m)^4}$$

$$\frac{c^x}{(c^x)^4} = \frac{G.m^3}{(G.m^3 \cdot \infty^3)^4}$$

$$\frac{c^x}{(c^x)^4} = \frac{G.m^3}{G.m^3 \cdot ((c^x/G.m^3)^{1/4})^3}$$

$$\frac{(c^x)^4}{c^x} = \frac{G.m^3 \cdot ((c^x/G.m^3)^{1/4})^3}{G.m^3}$$

$$(c^x)^3 = \frac{G.m^3 \cdot (c^x/G.m^3)^{3/4}}{G.m^3}$$

$$(c^x)^3 = (c^x/G.m^3)^{3/4}$$

$$(c^x) = (c^x/G.m^3)^{1/4}$$

$$(c^x)^3 = 1/G.m^3.$$

$$c^x = 1,48 \cdot 10^{27}$$

$$E = m.c^{3,2} \quad [g.m^{3,2} \cdot s^{3,2}] [J]$$

$$c^x = 1,48 \cdot 10^{30}$$

$$E = m.c^{3,6} \quad [kg.m^{3,6} \cdot s^{3,6}] [J]$$

$$E=2.k.m^2.\infty$$

$$E=2.G.m^4.\infty^4$$

$$\infty = \frac{2}{G.m^4.(c^x)^3}$$

$$m.c^x = 2.G.m^4 \cdot \frac{2^4}{G^4.m^{16}(c^x)^3}$$

$$(c^x)^4 = \frac{2^5}{G^3.m^{13}}$$

$$C^x = 1,93.10^{85}$$

$$E = m.c^{10} \quad [g.m^{10}.s^{10}] [J]$$

$$C^x = 8,89.10^{89}$$

$$E = m.c^{11} \quad [kg.m^{11}.s^{11}] [J]$$

$$\infty^2 = \frac{2}{G \cdot m^3 \cdot c^x}$$

$$(x^x)^3 = \frac{8}{G \cdot m^2}$$

$$E = m \cdot c^{2,3} \quad [g \cdot m^{2,3} \cdot s^{2,3}] [J]$$

$$E = m \cdot c^{2,5} \quad [kg \cdot m^{2,5} \cdot s^{2,5}] [J]$$

$$\infty = \frac{1}{2 \cdot m^2}$$

$$(c^x)^3 = \frac{8}{G \cdot m^2}$$

$$C^x = 6,48 \cdot 10^{107}$$

$$E = m \cdot c^{12,7} \quad [g \cdot m^{12,7} \cdot s^{12,7}] [J]$$

$$C^x = 6,48 \cdot 10^{122}$$

$$E = m \cdot c^{14,5} \quad [kg \cdot m^{14,5} \cdot s^{14,5}] [J]$$

$$E = k \cdot m^2 \cdot \infty$$

$$k = G \cdot m_1 \cdot m_2 \cdot \infty^3$$

$$E = G \cdot m^2 \cdot \infty^3 \cdot m^2 \cdot \infty$$

$$E = G \cdot m^4 \cdot \infty^4$$

$$m \cdot c^x = G \cdot m^4 \cdot \infty^4$$

$$c^x = G \cdot m^3 \cdot \infty^4$$

$$c^x = G \cdot m^3 \cdot \underline{(c^x)^4}$$

$$(k.m)^4$$

$$\frac{c^x}{(c^x)^4} = \frac{G.m^3}{(G.m^3 \cdot \infty^3)^4}$$

$$\frac{c^x}{(c^x)^4} = \frac{G.m^3}{G.m^3 \cdot ((c^x/G.m^3)^{1/4})^3}$$

$$\frac{(c^x)^4}{c^x} = \frac{G.m^3 \cdot ((c^x/G.m^3)^{1/4})^3}{G.m^3}$$

$$(c^x)^3 = \frac{G.m^3 \cdot (c^x/G.m^3)^{3/4}}{G.m^3}$$

$$(c^x)^3 = (c^x/G.m^3)^{3/4}$$

$$(c^x) = (c^x/G.m^3)^{1/4}$$

$$(c^x)^3 = 1/G.m^3.$$

$$c^x = 1,48 \cdot 10^{27}$$

$$E = m \cdot c^{3,2} \quad [g \cdot m^{3,2} \cdot s^{3,2}] [J]$$

$$c^x = 1,48 \cdot 10^{30}$$

$$E = m \cdot c^{3,6} \quad [kg \cdot m^{3,6} \cdot s^{3,6}] [J]$$

$$\infty^4 = \frac{c^n}{G.m^3}$$

$$\infty^4 = \frac{c^n}{2.G.m^3}$$

$$E=m.c^{3,2}$$

$$E=2.K'.m^2.\infty$$

$$E=m.c^7$$

$$\frac{c^x}{m.\infty} = G.m^2.\infty^3$$

$$\infty^4 = \frac{c^x}{G.m^3}$$

processada por computador, integral numérica:

$$E= m.c^{32} \quad \text{equação do big bang ou centro do universo} \quad [g.m^{32}.s^{32}] [J]$$

Fórmulas:

$$F_z = m \cdot \omega^2 \cdot R \cdot \cotg(\theta), \quad m'' = m \cdot g / (g + \omega^2 R)$$

$$F_{z_{eq.}} = G \cdot m_g \cdot m_e \cdot X^{-2}$$

$$F_{z_{eq.}} = G \cdot m_g \cdot 1,47 \cdot 10^{11} \quad \text{earth}$$

$$F_{z_{eq.}} = m_g \cdot g_{medido}$$

$$\omega = 2 \cdot \pi \cdot RPS$$

$$\omega = 2 \cdot \pi \cdot f$$

$$\tg(\theta) = \frac{m \cdot \omega^2 \cdot R}{F_y}$$

$$F_{cp} = \int_R^{R'} m \cdot \omega^2 \cdot R \cdot f(R' - R) dR$$

$$F_{y_{res}} = \frac{m \cdot \omega^2 \cdot R}{\tg(\theta')} + \frac{\delta \cdot 2 \cdot E \cdot I}{R^3}$$

$$m' = \frac{m \cdot (g + \omega^2 \cdot R)}{g} \quad [\text{kg}] \quad \text{Massa aparente ou virtual em y.}$$

$$m'' = \frac{m \cdot g}{(g + \omega^2 \cdot R)} \quad [\text{kg}] \quad \text{Massa aparente ou virtual em x.}$$

$$m = \frac{m' \cdot m''}{m} \quad [\text{kg}] \quad \text{massa real.}$$

$$m''_{res} = \frac{m \cdot g}{g + V_1^2/R_1 + V_2^2/R_2}$$

$$m''_{res} = \frac{m \cdot g}{g + (V_1/R_1 + V_2/R_2)^2 \cdot R_{m_{base10geom.esteviano}}}$$

$$M_{geo.base10.esteviana} = \left\{ \frac{x+y}{2} \right\} \cdot 10^{[(u+z)/2]} \quad v \geq \infty^2$$

→
 $F_p = m \cdot V \cdot \ln(V \cdot \Delta t)$ (estevão propulsion camaras)

$$F_x = \frac{dm^2 \cdot V^4}{R^2}$$

$$F = \frac{dm \cdot V^2}{R}$$

$$F_{mg} = \int_0^m Fg \cdot dm_2 \quad \text{ou} \quad F_{mg} = \iint \frac{G \cdot m_1 \cdot m_2}{x^2} \cdot dm_1 \cdot dm_2 = \frac{G \cdot dm_1^2 \cdot dm_2^2}{4x^2}$$

$$F_{mq} = \int_0^m Fq \cdot dq_2 \quad \text{ou} \quad F_{mq} = \iint \frac{k \cdot Q_1 \cdot Q_2}{x^2} \cdot dq_1 \cdot dq_2 = \frac{k \cdot dQ_1^2 \cdot dQ_2^2}{4x^2}$$

→ → → → →
 $F_{res} = F_{cp}(\omega, \omega') + F_z(\omega, \omega') + F_{mg}(\omega, \omega', \omega'') + F_{mq}(\omega, \omega', \omega'')$

$$F_z = 1,05 \cdot 10^1 \text{ N/tg}(\theta)$$

$$F_z = 7,37 \cdot 10^{14} \text{ N/tg}(\theta)$$

Nêutron (2d+1u) m=1,25u.m.a q=+-1/∞

Próton (2u+1d) m=1,00u.m.a q=+1(resultante) q=+1,33,
 q=-0,33(up 1,2 distanciados do down 3)

Infinito ver. fusão gravity: 1,49.10³⁰

Infinito de cálculo rotor V>c. : 1,49.10¹⁴

massa do eletron(física): 9,11.10⁻³¹ kg

massa do eletron neutrino(férmions): 3,82.10⁻³¹ kg

$$E = K \cdot m^2 \cdot \infty$$

$$E = 2 \cdot K \cdot m^2 \cdot \infty$$

$$E = 3 \cdot K \cdot m^2 \cdot \infty$$

$$E = 4 \cdot K \cdot m^2 \cdot \infty$$

$$k = G \cdot m_1 \cdot m_2 \cdot \infty^3$$

$$E=G.m^4 . \infty^4$$

$$E=m.c^{3,2}$$

$$E=m.c^{3,6}$$

$$E=m.c^2$$

$$E=m.c^3$$

$$E=m.c^4$$

$$E=m.c^5$$

$$E=m.c^6$$

$$E=m.c^7$$

$$E=m.c^8$$

$$E=m.c^{8,43}$$

$$E=m.c^{10}$$

$$E=m.c^{11}$$

$$E=m.c^{12}$$

$$E=m.c^{13}$$

$$E=m.c^{14}$$

$$E=m.c^{15}$$

$$E=m.c^{32} \quad \text{big bang ou centro do universo}$$

$$E=m.c^{36} \quad \text{big bang ou centro do universo}$$

APENDICES

Engenheiro Estevão Manzo Castello true god protectec ted
 by 8/8
 from theory of spinning disk Estevao Manzo Castello

				dados de entrada	
Gravity em $E=Km^2 \cdot \infty$				dados de saída	
"O verdadeiro infinito"				a verificar	
		numero	potencia de dez	calculo	
infinito relativo	$\infty =$	1,4854	30		
	$\infty =$	1,4854E+30	kg	∞	
				iterativo=	1,49E+30 K.m= 0,999954771
				$C^x =$	1,49E+30 K= 6,02382E+26
massa de hidrogênio	$m =$	1,66E-27	para leigos digitado consultar um estevão e Theory of spinning disk Estevão		
		G	m^4	∞^4	E
Energia $E=k.m^2 \cdot \infty$	$E =$	6,67E-11	7,5933E-108	4,868E+120	2465,65248
$E=Gm^4 \cdot \infty^4$					3,559206347
	$c =$	300000000			
$E=mc^2$	$E =$	6,834E-91			
$E=mc^x$	$x =$	3,559	resolvido com log do exelnão tem precisão de solução notável KM2inf??		
	$E =$	m	c^x	3,559	
	$E =$	2465,652476			
		G	m^2	∞^3	
$E=2K'm^2 \cdot \infty$	$k =$	6,67E-11	2,7556E-54	3,2774E+90	6,0238E+26
					4931,30495
	$c =$	300000000			
$E=mc^2$	$E =$	2,48004E-37			
$E=mc^x$	$x =$	3,5947	resolvido com log do exelnão tem precisão de solução notável KM2inf??		
	$E =$	m	c^x	3,5947	
		G	m^2	∞^3	
$E=4K''m^2 \cdot \infty$	$k =$	6,67E-11	2,7556E-54	3,2774E+90	6,0238E+26
					9862,6099
	$c =$	300000000			
$E=mc^2$	$E =$	2,48004E-37			
$E=mc^x$	$x =$	3,630	resolvido com log do exelnão tem precisão de solução notável KM2inf??		
	$E =$	m	c^x	3,630	
			$k \cdot \infty$		
	$\infty =$	1,4854E+30	8,94779E+56		
	$k =$	6,02382E+26	8,94779E+56	J	
		$E=km^2 \cdot \infty$	$E=km^2 \cdot \infty$		
	$m =$	1	kg		

Engenheiro Estevão Manzo Castello true god 8/8

from theory of spinning disk Estevao Manzo Castello

Gravty em $E=Km^2 \cdot \infty$	charge				dados de entrada
"O verdadeiro infinito"					dados de saída
		potencia de			a verificar
	numero	dez			calculo
infinito relativo	$\infty = 1,4854$	30			
	$\infty = 1,4854E+30$	kg	∞	iterativo= 1,49E+30	K.m= 0,999954771
				$C^x = 1,49E+30$	K= 6,02382E+26
massa de hidrogênio	$m = 1,66E-27$	para leigos digitado consultar um estevão e Theory of spinning disk Estevão			
	G	m^4	∞^4	E	
Energia $E=k.m^2 \cdot \infty$	$E = 6,67E-11$	7,5933E-108	5E+120	2465,65248	3,559206347
$E=Gm^4 \cdot \infty^4$	$c = 300000000$				
$E=mc^2$	$E = 6,834E-91$				
$E=mc^x$	$x = 3,559$	resolvido com log do exelnão tem precisão de solução notável KM2inf??			
	$E = m \cdot c^x$		3,559		
	$E = 2465,652476$				
	G	m^2	∞^3		
$E=2K'm^2 \cdot \infty$	$k = 6,67E-11$	2,7556E-54	3,3E+90	6,0238E+26	4931,30495
	$c = 300000000$				
$E=mc^2$	$E = 2,48004E-37$				
$E=mc^x$	$x = 3,5947$	resolvido com log do exelnão tem precisão de solução notável KM2inf??			
	$E = m \cdot c^x$		3,5947		
	G	m^2	∞^3		
$E=4K''m^2 \cdot \infty$	$k = 6,67E-11$	2,7556E-54	3,3E+90	6,0238E+26	9862,6099
	$c = 300000000$				
$E=mc^2$	$E = 2,48004E-37$				
$E=mc^x$	$x = 3,630$	resolvido com log do exelnão tem precisão de solução notável KM2inf??			
	$E = m \cdot c^x$		3,630		
		$k \cdot \infty$			
	$\infty = 1,4854E+30$	8,94779E+56			
	$k = 6,02382E+26$	2465,652476	J		
	$E = km^2 \cdot \infty$	$E = km^2 \cdot \infty$			
	$m = 1,66E-27$	kg			
	k	q1	q2	∞^2	xd
$Fq =$	9,216E-28	2,666666667	0,66667	2,2201E+60	1,3E-30
			m=	1,66E-27	Fq
					4882,432
	$c = 300000000$				
$E=mc^2$	$E = 14745,0419$				
$E=mc^x$	$x = 4,159$	resolvido com log do exelnão tem precisão de solução notável KM2inf??			
	$E = m \cdot c^x$		4,159		

Fq=	5,76E-09	2,666666667	0,66667	2,2201E+60	1,3E-30	1,9072E+23
			m=	1,66E-27		

c= 300000000

E=mc² E= 1,9072E+23

E=mc^x x= 5,905 resolvido com log do exelnão tem precisão de solução notável KM2inf??

E=	m	c [^]	5,905
	1,66E-27	300000000	5,905

Fq=	5,76E-09	2,666666667	0,66667	2,2201E+60	3,3E-09	4,71727E+44
-----	----------	-------------	---------	------------	---------	-------------

c= 300000000

E=mc² E= 4,71727E+44

E=mc^x x= 8,429 resolvido com log do exelnão tem precisão de solução notável KM2inf??

E=	m	c [^]	8,429
	1,66E-27	300000000	8,429
			4,7173E+44

$$F_{\text{EFET}} = m(e) \omega^2 \left[\sqrt{\frac{g m(e) m(e) + K Q(e) Q(e)}{F_{CP}(e) - F_{APL}}} - \sqrt{\frac{g m(e) m(e) + K Q(e) Q(e)}{F_{CP}(e) - F_{APL}}} \right] + \text{LEPTON } e$$

(FAPL + FCP) → PLASMA NUMERICAMENTE → CORRIJA TODOS

$$+ m(u) \omega^2 \left[\sqrt{\frac{g m(u) m(u) + K Q(u) Q(u)}{F_{CP}(u) - F_{APL}}} - \sqrt{\frac{g m(u) m(u) + K Q(u) Q(u)}{F_{CP}(u) - F_{APL}}} \right] \text{ QUARK UP}$$

$$+ \int m(d) \omega^2 \left[\sqrt{\frac{g m(d) m(d) + K Q(d) Q(d)}{F_{CP}(d) - F_{APL}}} - \sqrt{\frac{g m(d) m(d) + K Q(d) Q(d)}{F_{CP}(d) - F_{APL}}} \right] \text{ QUARK DOWN}$$

$$+ m(Ve) \omega^2 \left[\sqrt{\frac{g m(Ve) m(Ve)}{F_{CP}(Ve) - F_{APL}}} - \sqrt{\frac{g m(Ve) m(Ve)}{F_{CP}(Ve) - F_{APL}}} \right] \text{ NEUTRINE } Ve$$

$$+ m(Vu) \omega^2 \left[\sqrt{\frac{g m(Vu) m(Vu)}{F_{CP}(Vu) - F_{APL}}} - \sqrt{\frac{g m(Vu) m(Vu)}{F_{CP}(Vu) - F_{APL}}} \right] \text{ " QUARKO HA NA MATÉRIA ENERGIA DEBEMOS NEUTRINE } Vu$$

$$+ m(VT) \omega^2 \left[\sqrt{\frac{g m(VT) m(VT)}{F_{CP}(VT) - F_{APL}}} - \sqrt{\frac{g m(VT) m(VT)}{F_{CP}(VT) - F_{APL}}} \right] \text{ NEUTRINE } VT$$

ESTEVÃO MANZO CASTELLO

1/2

$$+ m(z) \omega^2 \left[\sqrt{\frac{G_m(z) m(u_d)}{F_{CP}(z) - F_{APL}}} - \sqrt{\frac{G_m(z) m(u_d)}{F_{CP}(z) + F_{APL}}} \right] \text{ Boson } z$$

$$+ m(w) \omega^2 \left[\sqrt{\frac{G_m(w) m(u_d)}{F_{CP}(w) - F_{APL}}} - \sqrt{\frac{G_m(w) m(u_d)}{F_{CP}(w) + F_{APL}}} \right] \text{ Boson } w$$

* (F_{APL} - F_{CP})

- EQUAÇÃO DA INÉRCIA INTRATÔMICA EM TERMOS DE FÉRMIONS
(INÉRCIA DA MATÉRIA)

- UMA DAS MAIORES EQUAÇÕES DA HISTÓRIA DA HUMANIDADE
DO FIZ AGORA

(ESTEVAO INÉRCIA INTRATÔMICA)

É UMDE UMA INTERESSANTE
FLYING MACHINE

FMAF - FERMIONS
ALIGM

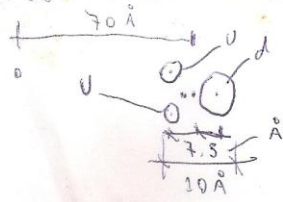
[Signature]

[Signature]

2/3

ESTEVAO MANZO CASTELLO

SOLUÇÃO NOTÁVEL PARA INÉRCIA $Q_U + Q_D$



$$-\frac{1}{3} + \frac{4}{5}$$

$$Q_U + \frac{2}{3}$$

$$Q_D - \frac{1}{3}$$

$$F_{\text{EFET}}(d) = m(\omega) \cdot \omega^2$$

$$F_{\text{EF}}(d) = 0,5 \cdot 10^{-3} \cdot 7,37 \cdot 10^{26}$$

$$\sqrt{\frac{6,67 \cdot 10^{-11} (0,5 \cdot 10^{-3})^2 + 9 \cdot 10^9 \left[(1,6 \cdot 10^{-19})^2 \left(\frac{2}{3} \right)^2 + (1) \cdot 6 \cdot 10^2 \right]}{1 - 0,5 \cdot 10^{-3} \cdot 7,37 \cdot 10^{26} \cdot 7 \cdot 10^{-10}}}$$

$$\sqrt{\frac{1,887 \cdot 10^{-27}}{1 - 2,579 \cdot 10^{-29}}} - \sqrt{\frac{2,667 \cdot 10^{-27}}{1 + 2,579 \cdot 10^{-29}}}$$

$$F_{\text{EF}}(d) = 0,5 \cdot 10^{-3} \cdot 7,37 \cdot 10^{26} \cdot 5,08 \cdot 10^{-10}$$

$$1,27 \cdot 10^8 \text{ N/mol H}_2 \cdot \text{N/F}_{\text{apli}}$$

$$4,41 \cdot 10^{14} \text{ N/mol H}_2$$

RESULTADO

FINAL DA INÉRCIA INTRÁTOMICA

$$m'' = \frac{1}{94 \cdot 10^{14}} = 1,268 \cdot 10^{-15} \text{ kg ou g}$$

$$m' = 4,4 \cdot 10^{14} \text{ kg ou g}$$



$$m^2 = m' \cdot m'' = 2,268 \cdot 10^{-15} \cdot 4,4 \cdot 10^{14} = 0,997 \text{ kg}$$

PARA $F_{\text{EFET}} = F_{\text{EF}}(d)$

$$m^2 = m', m'' = 1,236 \cdot 10^{-15} \cdot 8,17 \cdot 10^{14} = 0,999 \text{ kg}$$

$$m = \sqrt{0,999} = 0,999 \text{ kg ou g}$$

$\frac{3}{3}$

1 kg DE HIDROGÊNIO TEM 0,998 kg de INÉRCIA DE H₂

$$F_{\text{efet}} = m(\omega)^2 \cdot \left[\frac{G \cdot m_{(u)} m_{(ud)} + k Q_{(u)} Q_{(ud)}}{F_{\text{apli}} - F_{\text{cp}}} \right]^{1/2} - \left[\frac{G \cdot m_{(u)} m_{(ud)} + k Q_{(u)} Q_{(ud)}}{F_{\text{apli}} + F_{\text{cp}}} \right]^{1/2}$$

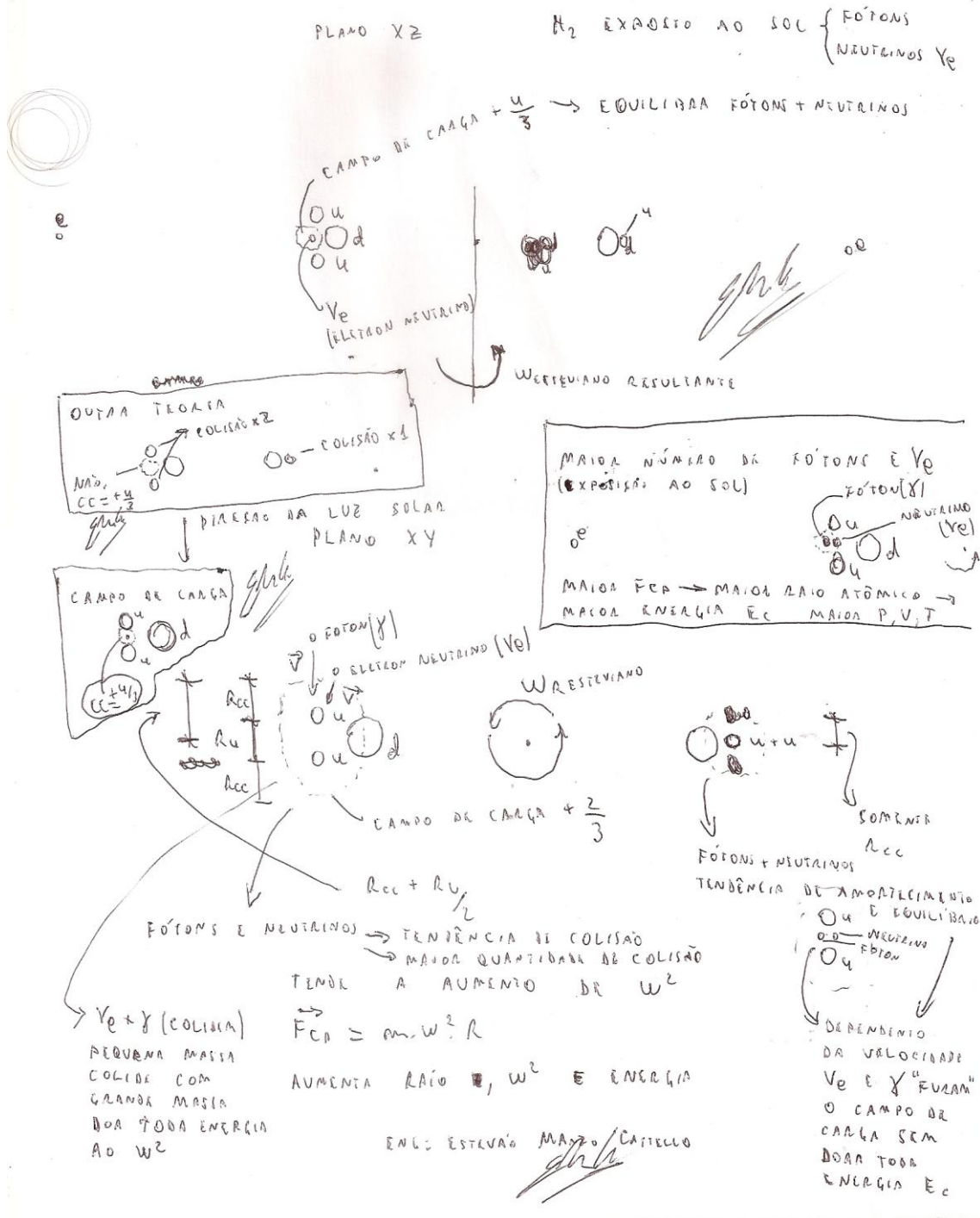
Resultado ordem de grandeza $m'' = 10^{-15}$ valida m' e m'' em o.g.

FMAF equivale aprox. a um disco $r = 1.000.000 \text{ m}$ 634.104 rpm (grandes discos) discos com alteração quântica provavelmente vencem FMAF e

grandes discos. discos com alteração quântica provavelmente vencem FMAF e grandes discos.

discos com alteração quântica provavelmente vencem FMAF e grandes discos.

• MODELO ESTEVAO DO H₂ E TRANSFORMAÇÃO PVT



Acima, nosso modelo de H₂, ligeiramente superior ao modelo quântico atual(matéria ganha w², Fcp, Ec) e muito superior ao modelo halteres(hélio acidental).

Forças intraatômicas interatômicas:

Eng: Estevão Manzo Castello

calculando k lei de estevao?

H2 codigo de cores

H1 entrada

Gm1m2/d2

d= 5,40E-11 m 0,54 angstrom

m= 100

saída

calculo

verificar

G m1 m2 x2 Fg

6,67E-11 100 100 2,916E-21 2,28738E+14

39 a 43

Kq1q2/d2

d= 5,40E-11 m

Q1= 1,00

Q2= 1,00

fg/fqtot= 1,00E+00

K Q1 Q2 x2 Fq

quarks 2,304E-28 -1 1 2,916E-21 -7,90123E-08

8 a 15

kcalculado lei de estevao 0,000000667 -1 1 2,916E-21 -2,28738E+14

eletron 2,304E-28 -1,0 1,0 7,29E-18 -3,16E-11

eletroncalculado estevaolaw 0,000000667 -1,00 1,00 7,29E-18 -9,15E+10

1/4pie0 quarks 2,304E-28 -1,00 1,00 7,29E-18 -3,16E-11

1/4pie0 eletron 2,304E-28 -1,00 1,00 7,29E-18 -3,16E-11

Fres1= -2,29E+14

G m1 m2 x2 Fgeletron

gravity eletron= 6,67E-11 9,11E-31 100 7,29E-18 -8,34E-22

Fres2= -2,29E+14

teoria 1 kq1q2/x3

x= 1,25E+30 não correto atomo não tem esse d ou x
k= 2,3^-28

Fefet= m(u) w2 raiz G m(u) m(ud) k
1 7,37E+27 6,67E-11 1 2 9E+09

Fapl= 1 N

Fcp= m w2 r Fcp
1 7,37E+27 5,40E-11 3,98E+17

Fefet= 7,37E+27 raiz 1,33E-10 1,33E-10
-3,98E+17 3,98E+17

Fefet= 7,37E+27 raiz -3,35E-28 3,35E-28

Forças intraatômicas interatômicas:

Fefet=	7,37E+27	#NÚM!	1,83E-14
	7,37E+27		3,66E-14
Fefet=	2,70E+14		

formula simplificada

Fefet=	m(u)	w2	G	m(u)	m(ud)
	1	7,37E+27	6,67E-11	1,00E+00	2,00E+00
Fefet=	2,70E+14			3,98E+17	

$$Fefet = m(u) \cdot w^2 \cdot (G \cdot m(u) \cdot m(ud) / (Fcp - Fapl))^{0,5}$$

m''=	3,71E-15	theory of spinning disk Eng:Estevão Manzo Castello
m'='	2,70E+14	m''=mg/g+w2r
m^2=	1,000	m''= 2,51E-17
m=	1,000	m'=' 3,98E+16

resistencia materiais intraatomica

Fg=	2,28738E+14	N	Fcp=	3,00E+14	Fcp=	3,00E+14
Fq1=	2,29E+14	N	m	1,00E-03	m	1,00E-03
Fq2=	2,29E+14	N	v	300000000	w	1E+09
Fq3=	2,29E+14	N	r	3,00E-01	r	0,3
Fq4=	2,29E+14	N				
Ftot=	1,14E+15	N	res-força=	8,44E+14		
			Fs=	3,8		

Eng: Estevão Manzo Castello				H2	codigo de cores
calculando k lei de estevao?				H1	entrada
Gm1m2/d2					saida
d=	5,00E-11	m	0,500	angstron	calculo
m=	1,66667E-24				verificar

	G	m1	m2	x2	Fg
	6,67E-11	1,6667E-24	1,66667E-24	2,5E-21	7,41111E-38

Kq1q2/d2					
d=	5,00E-11	m			
Q1=	1,00			fg/fqtot=	9,99E-01
Q2=	1,00				

	K	Q1	Q2	x2	Fq
quarks	2,304E-28	-1	1	2,5E-21	-9,216E-08
kcalculado lei de estevao	1,85278E-58	-1	1	2,5E-21	-7,41111E-38
eletron	2,304E-28	-1,0	1,0	2,78E-18	-8,30E-11
eletroncalculado estevaolaw	1,85278E-58	-1,00	1,00	2,78E-18	-6,67E-41
1/4pie0 quarks	2,304E-28	-1,00	1,00	2,78E-18	-8,30E-11
1/4pie0 eletron	2,304E-28	-1,00	1,00	2,78E-18	-8,30E-11
				Fres1=	-7,42E-38
	G	m1	m2	x2	Fgeletron
gravity eletron=	6,67E-11	9,11E-31	1,66667E-24	2,78E-18	-3,65E-47
				Fres2=	-7,42E-38

teoria 1 kq1q2/x3

x= 1,25E+30 não correto atomo não tem esse d ou x

k= 2,3^-28

Estevão Inraatomic inertia from Theory of spinning disk Eng:Estevão Manzo Castello

Fefet=	m(u)	w2	raiz	G	m(u)	m(ud)	k
	1	7,37E+27		6,67E-11	1	2	9E+09

Fapl= 1 N

Fcp=	m	w2	r	Fcp
	1	7,37E+27	5,00E-11	3,69E+17

Fefet=	7,37E+27	raiz	1,33E-10	1,33E-10
			-3,69E+17	3,69E+17

Fefet=	7,37E+27	raiz	-3,62E-28	3,62E-28
--------	----------	------	-----------	----------

Fefet= 7,37E+27 #NÚM! 1,90E-14
 7,37E+27 3,81E-14
 Fefet= 2,80E+14

formula simplificada

Fefet= m(u) w2 G m(u) m(ud)
 1 7,37E+27 6,67E-11 1,00E+00 2,00E+00
 Fefet= 2,80E+14 3,69E+17

$F_{fet} = m(u) \cdot w^2 \cdot (G \cdot m(u) \cdot m(ud) / (F_{cp} - F_{apl}))^{0,5}$

m''= 3,57E-15 theory of spinning disk Eng:Estevão Manzo Castello
 m'= 2,80E+14 m''=mg/g+w2r
 m^2= 1,000 m''= 2,71E-17
 m= 1,000 m'= 3,69E+16

resistencia materiais intraatomica, iteratomica, intergranular

Forças intraatômicas interatomicas:

Eng: Estevão Manzo Castello

H2 codigo de cores
 H1 entrada
 saída
 calculo
 verificar

d= 5,00E-11 m 0,500 angstron
 m= 1,66667E-24 kg
 ymatter= 7,85 kg/dm3
 0,00785 p/ centímetro cúbico

	G	m1	m2	x2	Fg	
foças entre quarks	6,67E-11	1,00E+00	1,00E+00	2,50E-21	2,67E+10	N
Fg=	26680000000	N	d²quarks(protion)=	2,50E-21	cm2	
Fq=	1,0672E+11	N	cm²=	1	cm2	
Ftot=	1,334E+11	N	NforçasQ/cm2=	4,00E+20	forças p/ m2	4,00E+24
Rest=	2,65E+11	N/m2	%protons=	47%		
Rest=	2,65E+08	KN/m2	No(atomico)=	26		
Rest=	2,65E+05	MN/m2	massa(atomico)=	55,8		
Rest=	265,12	GN/m2	volume(cm3)=	0,1273885	entrada	
			area(cm2)=	0,5031646	saída	
d=	1,67E-09	m	16,665	angstron	calculo	
m=	1,66667E-24	kg			verificar	
ymatter=	7,83	kg/dm3				
	G	m1	m2	x2	Fg	
foças entre atomos	6,67E-11	7,83E+00	7,83E+00	2,78E-18	1,47E+09	N

Fg=	1472443781	N	d ² atomo=	2,78E-18	cm ²
Fq=	11764825809	N	cm ² =	1	cm ²
Ftot=	13237269590	N	NforçasQ/cm ² =	3,60E+17	
Rest=	1,32E+12	N/m ²	%protons=	47%	
Rest=	1,32E+09	KN/m ²	No(atomico)=	26	
Rest=	1,32E+06	MN/m ²	massa(atomica)=	55,8	
Rest=	1323,73	GN/m ²			
d=	1,00E-07	m	0,1	micron	saída
m=	1,66667E-24	kg	70,000	angstrom	calculo
γmatter=	7,83	kg/dm ³			verificar

	G	m1	m2	x2	Fg
foças entre grãos	6,67E-11	7,83E+00	7,83E+00	1,00E-14	4,09E+05
Fg=	408930,363	N	d ² grao=	1,00E-14	cm ²
Fq=	6951816,171	N	cm ² =	1	cm ²
Ftot=	7360746,534	N	NforçasQ/cm ² =	1,00E+14	
Rest=	7,36E+08	N/m ²			
Rest=	7,36E+05	KN/m ²			
Rest=	7,36E+02	MN/m ²			
Rest=	0,74	GN/m ²			

Forças intraatômicas interatômicas:
 Eng: Estevão Manzo Castello
 calculando k lei de estevao?
 Gm_1m_2/d^2

codigo de cores
 H2 entrada
 H1 saída
 angstro
 n calculo
 verificar

d= 5,00E-11 m
 m= 1,66667E-24

0,500 n

G	m1	m2	x2	Fg
6,67E-11	1,66667E-24	1,66667E-24	2,5E-21	7,41111E-38

6,67E-11
 1,85278E-58
 k lei estevao=
 k lei estevao
 Q em coulomb=
 7,23741E-21

Kq_1q_2/d^2
 d= 5,00E-11 m
 Q1= 1,00
 Q2= 1,00

fg/fgtot = 9,99E-01

raioelet/raionucleo = 33,33

	K	Q1	Q2	x2	Fq
quarks	2,304E-28	-1	1	2,5E-21	9,216E-08
kcalculado lei de estevao	1,85278E-58	-1	1	2,5E-21	7,41111E-38
eletron	2,304E-28	-1,0	1,0	2,78E-18	-8,30E-11
eletroncalculado	1,85278E-58	-1,00	1,00	2,78E-18	-6,67E-41
estevalaw 1/4pie0	2,304E-28	-1,00	1,00	2,78E-18	-8,30E-11
quarks 1/4pie0	2,304E-28	-1,00	1,00	2,78E-18	-8,30E-11

raio eletronic o= 16,67 angstrom

raio 16,66

eletron	E-28	E-18	11	eletronico=	5
		Fres	-7,42E-38	raio nuclear	
		1=		atomico=	0,50
		Fgeletr			
	G	m1	m2	x2	on
			1,666		
gravity	6,67E-11	9,11E-31	67E-24	2,78E-18	-3,65E-47
eletron=				Fres	-7,42E-38
				2=	

Eng: Estevão Manzo Castello truegod protected 8/8estevao-c
 Calculo Kestevao p/ quarks
 K(modelo esteviano)
 está resultando modelo esteviano Theory of spinning disk
 Kcoulomb -> ferro, aço
 estevão

codigo de cores
 entrada
 saída
 calculo
 verific.

m=	1,6667E-27	kg	d=	0,47	h1	q1=	1
			d=	4,7E-11		q2=	1
	G	m1	m2	d2	fg		
Fg=	6,67E-11	1,667E-27	1,67E-27	2,21E-21	8,39E-44		
Fq=	-8,387E-44						
kestevao=	2,50E-28						
	k	q1	q2	x2	fq		
Fq=	2,5E-28	1	1	2,21E-21	1,13E-07		

Eng: Estevão Manzo Castello truegod protected 8/8estevao-c
 Calculo Kestevao p/ quarks modelo dinâmico
 Kcoulomb -> ferro, aço

modelo dinâmico
 h1

m(e)= 9,11E-31 kg
 m(2u)= 1,667E-27 kg
 m(d)= 1,667E-27 kg
 Fcp(e)= 1,095E-10 N
 Fcp(u)= 3,12E-09 N
 Fcp(d)= -3,12E-09 N

R(e)= 15,1105 angstron
 R(u)= 0,235 angstron
 R(d)= -0,235 angstron

w²= 7,96E+27
 w= 2,82E+14

1,39E-14
 64,3
 1

	k	q1	q2	x2	fq		
Fq(e)=	2,5E-28	-1	1	2,28E-18	-1,095E-10	R(e)=	1,51E-09 m
devido(e)	Fq(u)=	2,5E-28	-1	1,33	2,28E-18	R(u)=	2,35E-11 m
devido(d)	Fq(u)=	2,5E-28	1,33	-0,333333	5,52E-22	R(d)=	-2,35E-11 m
	Fq(d)=	2,50000E-28	1,33	-0,333333	5,52E-22		
	G	m1	m2	d2	fg		

Fg(e)=	6,67E-11	9,11E-31	1,67E-27	2,28E-18	4,44E-50
Fg(u)=	6,67E-11	1,667E-27	1,67E-27	5,52E-22	3,35E-43

Ftot(e)=	1,39E-14	N
Ftot(u)=	-8,43E-08	N
Ftot(d)=	-9,06E-08	N

m''=	5,35E-18
m' =	1,87E+17
m ² =	1,00E+00
m=	1,00E+00

Spinning rocket engine to cars
Eng Estevão manzo Castello

f=	5600	RPM
f/2=	2800	RPM
f=	46,66667	Hz
w=	2,93E+02	rad/s
w ²	8,60E+04	rad/s

Fzmax=	37,9185615	tf
Fz=	4,74E+04	N
Fz=	4739,82019	kgf
Fz=	4,73982019	tf

Fz/m' =	0,998065	kgf/kgf
a' =	8,24	m/s ²
a =	5158,21	m/s ²

entrada
saída
calculo
verif.

spinnig rocket

R=	0,15	m
Rfuro=	3	cm
R' =	0,06	m
h=	0,15	m
tg-teta=	0,5	m
V=	3534,188	cm ³
gama=	2,6	g/cm ³
m=	9,19	kg
m/2=	4,594444	kg

Reixo=	1,7	cm
Aeixo=	9,078935	cm ²
Rseixo=	39,4736304	tf
Fs=	1,04101076	

0 a 100	3,369214	s
0 a 100	0,005385	s

rotmin=	60	RPM
f=	1	
w=	6,283	
Fzmin=	145,096536	N
Fzmin=	0,01450965	tf

m' max=	4749,009
m'' max=	#VALOR!

cortes c/ 45° p/ m/2

m'' =	0,018	Theory of Spinning Disk Eng:Estevão Manzo Castello
m' =	4749	kg virtual mass
m =	9,19	kg mass

Clonagem física de fluidos Eng Estevão Manzo Castello
 Truegod protected by 8/8 estevão-C

A velocidade da luz mecanicamente com bons
 fatores de segurança.

Engin e RPM=	700	rp m	Hp motor=	1,03	H P	codigo de cores:	dados de entrada	diam atómico =	2,5	2E-08	m
	299	000	PotW=	769,066	W at		dados de saída		7,4	8E+07	
c=	000	s		577	ts		verificar	par/grao	1E-16		
R=	0,3	m					calculo	rate=	1,4	8E+30	
W=	733,02	pi.rad/s2						infinity"real"by-esteveao=	1,4	infinito	
Vante srel=	219,90	m/s					largura maior =	par integral numeric a=	0,15	14	calculo
Num erodp ares=	6	n					menor =	ate 27 a favor segur.	0,00		
Relat ot=1:	135967		Rpar^np =Rtot	783	kg/m3		gamma etal=				
Relap ares=	10,53		x=logRel par Reltot	1,45	m		dV=	9,9	7E+0		
				1,13	308		dm=	9,9	3E+1		
				E-12	g		w2=	7			
Vaz est:	1	l/s		6,15	E+0		dFcp=				
V/hor a=	360	litros		3,07	E+0		Ftang=				
Valor =	2,5	R\$/lit		4,55	E-02		Arest=		75	0	N/mm2

a=	1,0 0E+ 01	m/ s2	t=	30	dcomp cixeixo	=	4,25 E-15	m	volu meli	q=	3,1 7	litros	liquido a clonar
F=	1,6 8E+ 03	N	v=	3,00 E+0 2	Areare	s=	4,24 E-02	m					
Torqu e inicial = 02	1,6 8E+ 02	N. m	w2'= 3	3,00 E+0 3	Def.eix o(epsil on)=		2,11 E-05	m	/				recomendado<1,27.10^-5
Torqu e inicial = 01	1,6 8E+ 01	kgf .m	m''de w2'= E-03	1,86 E-03	menor que 10^-3 rompe a barreira da inércia convencional e entra em massa virtual.								